

ՏԵԽՆԻԿԱԿԱՆ ԳԻՏՈՒԹՅՈՒՆՆԵՐԻ ՍԵՐԻԱ СЕРИЯ ТЕХНИЧЕСКИХ НАУК

ԵՄՔԱԳՐԱԿԱՆ ԿՈԼԵԴԻԱ

Հ. Ալերսենսկի վ. Գասպարյան Ա. Մ., քաս Ի. Վ., Կասյան Մ. Վ., Նազարով Ա. Գ. Սիմոնով Մ. Զ., Տեր-Ստեփանյան Գ. Ի., Փինաջյան վ., վ. (պատ. խժրագրի

РЕДАКЦИОННАЯ КОЛЛЕГИЯ:

Sthichhalime abanip, alrha XV, No. 5, 1962

Серия технических наук

инженерная сеясмология

Э. Е. ХАЧИЯН

РАСЧЕТ СООРУЖЕНИЙ НА СЕЙСМОСТОЙКОСТЬ ПО АКСЕЛЕРОГРАММАМ СИЛЬНЫХ ЗЕМЛЕТРЯСЕНИЙ

Сообщение 2

В статье приводятся результаты расчета гибких сооружений на сейсмическое воздействие по вкселерограммям четырех сильных землетрясений силой 7 и 8 баллов при помощи электронных вычислительных машин.

Расчетные схемы некоторых гибких сооружений (дымовые трубы, отдельные стойки, башни, опоры мостов) приводятся к защемленному брусу с преобладанием деформаций изгиба. В первом приближении принимаем, что брус постоянного сечения, тогда уравненяе свободных колебаний будет

$$EJ \frac{\partial^4 y}{\partial x^4} + m \frac{\partial^2 y}{\partial t^2} = 0, \tag{1}$$

где y(x, t) — перемещение точек на оси стержня:

Е — модуль упругости материала стержня;

ломент инерции поперечного сечения:

т — масса стержия на единицу длины.

Подстановка $y_i(x, t) = Y_i(x) q_i(t)$ при граничных условиях соответствующих жесткому защемленню консолн (при x=0 17 (x)=0, $Y_{i}(x) = 0$, при x = 1 $Y_{i}(x) = 0$, $Y_{i}(x) = 0$) получим следующее выражение для фундаментальной функции

$$Y_{i}(x) = -\frac{\sin \mu_{i} + \sin \mu_{i}}{\cos \mu_{i} + \cos \mu_{i}} (\cos \lambda_{i} x - ch \lambda_{i} x) + \sin \lambda_{i} x + sh_{i} x, \qquad (2)$$

где

$$p_j = \lambda_j \ l, \ \lambda_j = \frac{1}{2} \int \frac{mp_j}{mp_j} \ . \tag{3}$$

Здесь рі — круговые частоты свободных колебаний, которые ределяются из уравнения

$$\cos \mu \, ch \, \mu + 1 = 0 \tag{4}$$

первые три коряя которого равны:

$$g_1 = 1.875$$
, $g_2 = 4.694$, $g_1 = 7.855$.

Нормальные координаты a_i (t) при выпужденных колебаниях основания сооружения по закону y_i (t) с учетом рассеяния эпергии удовлетворяют следующему дифференциальному уравнению [1]:

$$q_i(t) - q_i(t) = -y_0(t),$$
 (5)

где

$$c_{ij} = \frac{2}{\mu_{I}} \left(\frac{\cos \mu_{I} + ch \, \mu_{I}}{\sin \mu_{I} + sh \, \mu_{I}} \right) \tag{6}$$

 α — коэффициент внутреннего трения, связанный с декрементом затухания θ соотношением $\theta = \alpha \pi$ и принимаемый постоянным для всех форм колебания*. Общим решением уравнения (5) при нулевых начальных условиях (при t=0 $q_1=q_2=0$), будет

$$q_{I}(t) = -\frac{\delta_{I}}{\rho_{I}} \int_{0}^{t} e^{-\frac{t}{2}} y_{0}(t) \sin \rho_{I}(t-\xi) \tag{7}$$

Изгибающий момент отвечающий полному деформированному состоянию бруса будет

$$M(x, t) = EJ \sum_{i=1}^{\infty} Y_i(x) q_i(t).$$
 (8)

Подставляя соответствующие значения получим

$$M(x,t) = \frac{q}{g} \sum_{i=1}^{n} \gamma_i(x) \frac{2\pi}{T_i} \int_0^x e^{-\frac{t}{T_i}} y_0^*(\xi) \sin \frac{2\pi}{T_i} (t-\xi) d\xi.$$
 (9)

Перерезывающая сила в каком-либо сечении бруса будет

$$Q(x, t) = \frac{\partial M(x, t)}{\partial x}$$

яля

$$Q(x, t) = \frac{qI}{g} \sum_{i} \eta_i(x) \frac{2\pi}{T_i} \int_0^{t-T_i} e^{-tt} y_0(\xi) \sin \frac{2\pi}{T_i} (t - \xi) d\xi, \quad (10)$$

пде

$$T_{i}(x) = \frac{2}{\mu_{i}^{3}} \left(\frac{\cos \mu_{i} + ch \, \mu_{i}}{\sin \mu_{i} + sh \, \mu_{i}} \right) \left[-h \, u_{i} \frac{x}{l} + \cos \mu_{i} \frac{x}{l} - \left(\frac{\cos \mu_{i} + ch \, \mu_{i}}{\sin \mu_{i} + sh \, \mu_{i}} \right) \left(-sin \, \mu_{i} \frac{x}{l} + sh \, \mu_{i} \frac{x}{l} \right) \right], \tag{11}$$

О постоянстве затухания для первых нескольких форм колебаний см. статьи М. Мерфи. Дж. Байкрофта, Л. Харрисопа и М. Исады п сборнике "Международили конференция по сенемостойкому строительству", Госстройиздат. М., 1961 г.

$$\frac{\pi_{I}(x)}{\pi_{I}(x)} = -\frac{2}{\mu_{I}} \left(\frac{\cos \mu_{I} + ch \, \mu_{I}}{\sin \mu_{I} + sh\mu_{I}} \right) \left[-sh \, \mu_{I} \frac{x}{I} - \sin \mu_{I} \frac{x}{I} \right] - \left(\frac{\cos \mu_{I} + ch \, \mu_{I}}{\sin \mu_{I} + sh \, \mu_{I}} \right) \left(ch \, \mu_{I} \frac{x}{I} + \cos \mu_{I} \frac{x}{I} \right) \right] -$$

Определение максимумов M и Q осуществлялось при помощи электронно-вычислительной машины в Вычислительном центре AH Армянской ССР, В качестве законов колебания ускорения почвы были приняты четыре акселерограммы сильных землетрясений силой 7 и 8 баллов. Методика расшифровки и акселерограммы землетрясений приведена в работе [3]. Акселерограммы землетрясений заимствованы из [4].

При фиксированном значении $x=x_k$ и задвиных значениях T_n , T_n и T_n и z для акселерограммы № 1 были получены 225 значений изгибающих моментов и поперечных сил с учетом трех форм колебаний. Из этих 225 значений для $x=x_k$ были отобраны максимальные значения изгибающих моментов и поперечных сил для этого сечения. Таким образом только для одной акселерограммы № 1 было получено 20-225=4500 значений изгибающих моментов и поперечных сил, из которых были отобраны 20 максимальных значений. Это дало возможность следить за измечением изгибающих моментов и поперечных сил во времени в различных сечениях по высоте сооружения. Вычисления производились при следующих значениях периодов свободных колебаний (в секуилах):

$$T_1 = 2.5$$
, $T_2 = 0.40$, $T_3 = 0.15$,

для и=0; 0.04; 0.08 и 0.16.

На рис. 1 построены графики изменения во времени изгибающих моментов и поперечных сил для нижнего и верхнего сечений гибкой консоли при z = 0.08 для вкселерограммы № 1.

Причем, чтобы иметь правильное представление о влиянии высщих форм колебания, машина одновременно давала доли каждой формы колебаний (каждого члена ряда) в общем максимуме и момент возникновения этого максимума, что в спою очередь дало возможность следить за распространением максимальных значений изгибающих моментов и поперечных сил по высоте сооружения при землетрясении. В табл. І приведены максимальные значения изгибающих моментов и перерезывающих свл (без множителей $\frac{g}{g}$, $\frac{g}{g}$) вместе с моментами, при которых получились эти максимумы, а так-

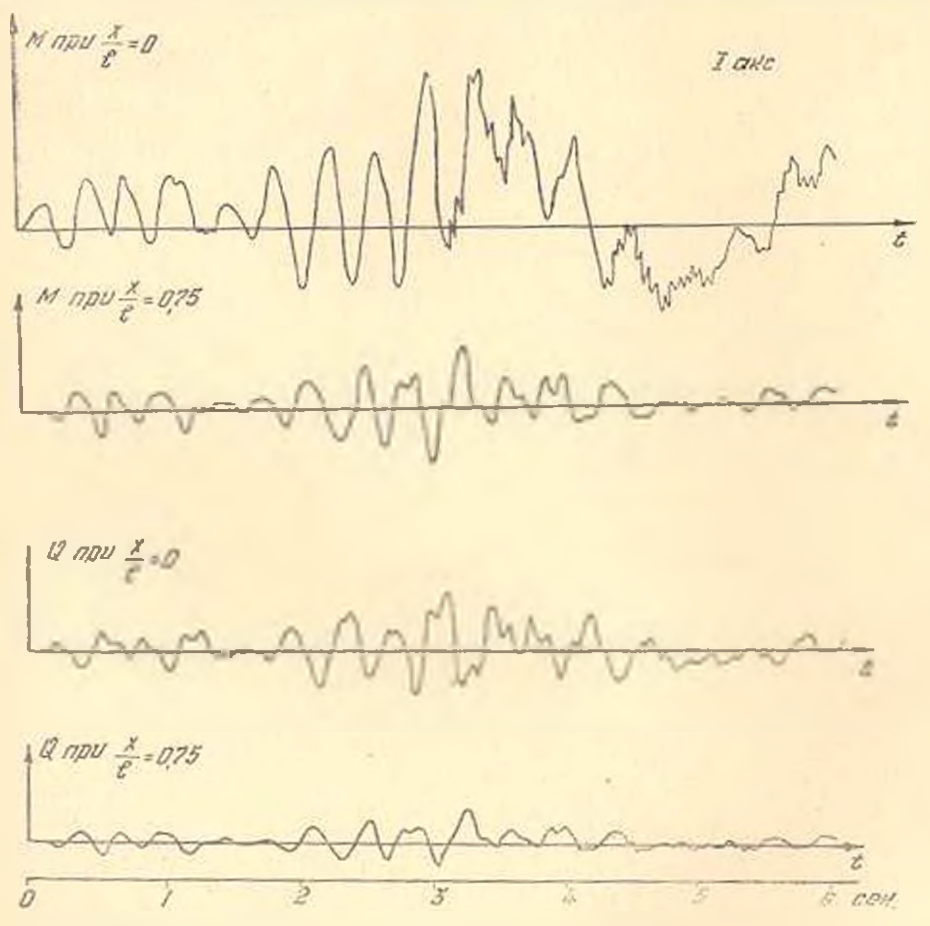


Рис. 1 Графики изменеция во времени пагибающих моментов и перерезывающих сил для акселерограммы № 1 при z = 0,08,

же доли каждой формы колебаний в общем максимуме, для четырех акселерограмм при з =0.08. Зависимости распространения максимальных изгиблющих моментов и поперечных сил при з =0.08 для акселерограмм № 1 — 4 приведены на рис. 2, которые показывают, что максимальные возмущения по высоте сооружения при различных землетрясениях распространяются по-разному. Для одинх землетрясений максимальные значения М и Q раньше получаются в нижних сечениях, для других в верхиих сечениях. Для акселерограмм № 1 и № 3 максимальные значения изгибающих моментов и поперечных сил в различных сечениях получаются почти одновременно. Влияние разврамных сечениях получаются почти одновременно.

Val	6.0	000	4

	Аксеифрограмма № 1					Акселерограмма № 2				Акселерограмма № 3					Акселерограмма №					
						Изгибающие мон					тенты без множителя <u>ql</u> -									
7	Дож по формам од жеков од жист по од жист п			Доли по формам колебаний - 2 2			возникно- макс, по вормам	Доли по формам колебаний			IIO NE	нозинкио- чакс. по формам	Лоли по формам колебаний		MASM	NE 3 M	возникно- гакс. ко ормам			
	1	II	ш	Максимум по трем форман	Время позинк пения микс. п трем форман	1	11	т	максимум пол	Нремя возник вения изкс. п	1	11	ш	уж орм	Врекя нозник вения макс, п трем формам	1	10	111	Максимум по трем формач	Врсия возники пення макс. но трем формах
0.0 0,1 0,2 0,3 0,4 0,5 0,6 0,7 0,8 0,9	5,2 4,5 3,9 3,1 2,1 1,5 0,8 0,4 0,2 0,03	3,0 1,6 -0,1 0,2 2,9 3,5 3,6 2,7 1,6 -0,5	0,1 0 0,6 0,9 -0,3 0 0,6 0,9 0,6 0,9 0,6	8,4 6,1 4,4 4,3 4,8 5,0 4,9 4,2 2,4 -0,8	3,439 3,439 3,333 3,333 3,226 3,253 3,253 3,253 3,253 3,253 3,253 3,253	3,6 3,1 4'6 -2,0 -1,6 -1,2 -0,6 -0,3 -0,1 -0,0	1 0	-0,3 -0,1 0,1 -1,3 -0,1 0 -6,4 -0,7 -6,5 -0,1	13,4 8,3 5,2 -5,9 -8,7 -9,6 -8,8 -7,1 -4,1 -1,2	2,117 2,070 2,070 2,046 2,046 2,046 2,046 0	-39,4 -35,1 -27,5 -19,6 -14,- 5-9,5 5-2,0 6-0,0	3 — 6,2 5 —17,1 1 —21,7 7 — 20,1 8 —15,1 7 — 9,0 7 — 2,7 0	2 -0,1 -0,7 -0,4 -0,4 0,5 8 0,5 8 0,5 0 0,2	- 8 8 2 4 - 1 8 9 - 1 8 7 - 11 2 - 3 3 0	2,999 2,999 3,(66 3,155 3,199 3,199 3,199 3,199 3,199 0	5,3 4,6 3,9 3,0 2,4 1,8 1,2 0,7 0,3 -0,0	3,5 2,0 0,2 0,8 2,1 2,6 2,4 1,8 1,0 0,3 0	0,8 0,16 0,2 0,2 0 0,2 0,4 0,3 0,3 0,2	9,6 6,7 4,5 4,1 4,5 4,4 3,9 3,0 1,7 0,5	1,544 1,560 1,593 1,317 1,333 1,349 1,365 1,365 1,365 2,699 0
0,0 0,1 0,2 0,3 0,4 0,5 0,6 0,7 0,8 0,9	2,5 2,5 3,5 1,7 2,6 6,3 4,1 3,8 2,1 0,7	20,2 19,9 22,5 21,5 11,6 -0,4 2,2 9,9 12,2 -9,7	10.9 10.2 2,3 -0.2 5,3 8,1 6,2 -0.2 3,5 -5,2 0	33,6 32,6 28,4 23,0 19,5 14,0 12,5 13,5 17,9 14,3	П о п 3,093 3,093 3,093 3,013 3,333 3,173 3,226 3,253 3,013 0	3.6 3.1 4.6 -2.0 -1.6 -1.2 -0.6 -0.3 -0.1 -0.04	10,1 5,3 0,1 - 2,5 - ,9 - 8,3 - 6,0 - 3,4 - 1,0	-0.3 -0.1 0.4 -1.3	13,4 8,3 5,2 5,9 8,7 9,6 8,8 2,1 4,1 1,2	1,670 2,917 2,117 2,070 2,070 2,046 2,046 2,046	-62,0 -61,9 -61,3 -59,7 -56,9 -56,4 -43,8 -35,8	-96,0 -94,6 -86,1 -67,7 -40,6 -2,1 -30,4 -61,2 -89,9	$ \begin{array}{r} 3,2 \\ -2,1 \\ -0,1 \\ 1,6 \\ -10,5 \\ -3,9 \end{array} $	g -161,6 -159,9 -149,5 -127,7 - 95,8 - 69,1 - 78,2 - 97,4 - 92,8	2,977 2,977 2,977 2,977 2,977 3,066 3,199 3,199 3,199 0	7,3 7,3 7,2 7,1 6,9 6,2 5,5 4,4 3,3 -0,6 0	16,9 16,6 15,1 13,8 8,2 0,2 0,5 7,4 8,2 6,7	6,4 6,0 3,8 -0,1 7,5 5,5 -0,1 1,5 3,9 0	30,7 30,0 26,3 20,9 17,5 14,0 10,5 11,7 13,1 9,9	1,544 1,544 1,577 1,593 1,869 1,869 1,349 1,365 2,699

личных коэффициентов внутрениего трения на моменты времени, при котором получаются максимумы заметно при малых затуханиях. При больших затуханиях, моменты времени при которых получаются максимумы не зависят от коэффициента виугреннего трения.

На рисунках 3 и 4 приведены эпюры максимальных значений изгибающих моментов и понеречных сил соответственно для акселерограмм №№ 1 4, где для сравнения пунктиром построены эпюры, вы-

численные при учете только первой формы колебания. Причем, для получения действительных значений изгибающих моментов и поперечных сил, необходимо значеиня приведенные на эпюрах, которые имеют размерность ускорения (см. сек2) соответственно умдля изгибающих мо-

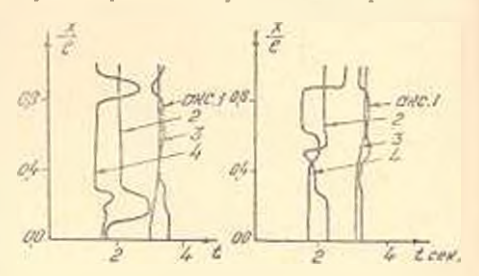


Рис. 2. Зависимости распростравения максимальных нагибающих моментов и перереамнающих сил но высоте бруса npit = -0.08.

Эти эпюры показывают на существенное влияние высших форм колебаний. Увеличение изгибающих моментов в основании от форм колебания соответственно составляет 58, 100, 35, 80% селерограмм N_2 1—4. В сеченин x/I=0.7 высшие формы колебаний

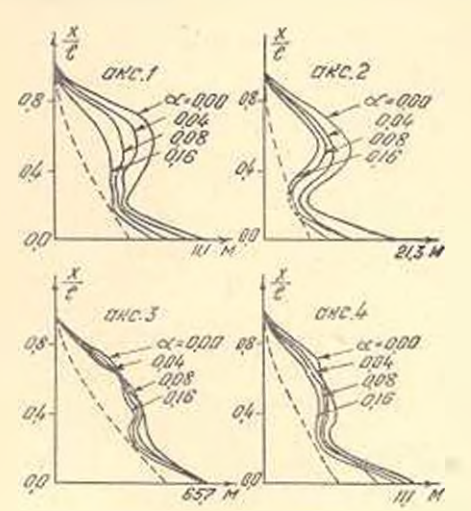


Рис. 3. Эпюры изгибающих момевтов для акселерограмм № 1-4 при T. -2.5 cek. T. =0,4 cek. T. - 0.15 cek.

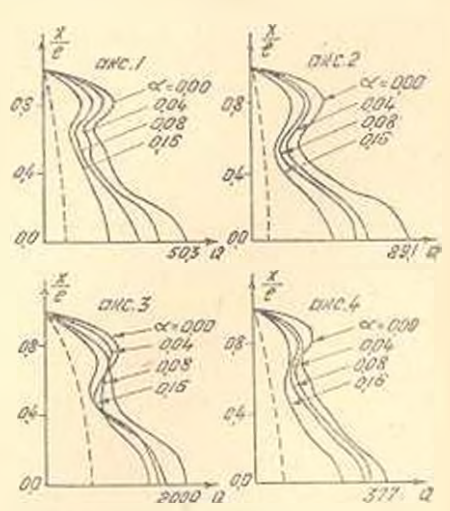


Рис. 1. Эпюры перерезывающих сил для акселерограмы № 1-4 при $T_{*}=2.5$ cen, $T_{*}=0.4$ cen T2=0, 15 cek.

существенно увеличивают значения изгибающих моментов и поперечных сил реагируемые по первой форме колебаний. Для изгибающих моментов это увеличение соответственно составляет 5.8; 7.8; 3,7; 4,2 раза для акселерограмм N_0N_0 1—4. В верхних сечениях получаются сравнительно большие значения изгибающих моментов по сравнению с основанием. Действительно, значения изгибающих моментов в сечении $\frac{x}{1} = 0.7$ составляют около 50, 53, 37, $\frac{310}{0}$ от изгибающих моментов в основании*.

Таблица 2

.10	Экспентриситеты										
t	arc Ny I	акс. № 1	акс. № 3	акс. № 4							
0,0	8,41	13,41	65.8/ g	9,61 g							
0,7	$\frac{4.12l}{0.3g} = \frac{14l}{g}$	$\begin{bmatrix} 7.1t \\ 0.3g \end{bmatrix} = \frac{23.7t}{g}$	$\begin{array}{c c} 24.5t & 81.5t \\ \hline 0.3g & g \end{array}$	$\frac{3.0l}{0.3g} = \frac{10l}{g}$							

Следовательно значение эксцентриситетов в верхних частях для четырех акселерограмм всегда больше, чем в нижних частях. В верхних сечениях бруса получаются сравнительно большие, значения и для поперечных сил. Отмеченное может иметь решающее значение для

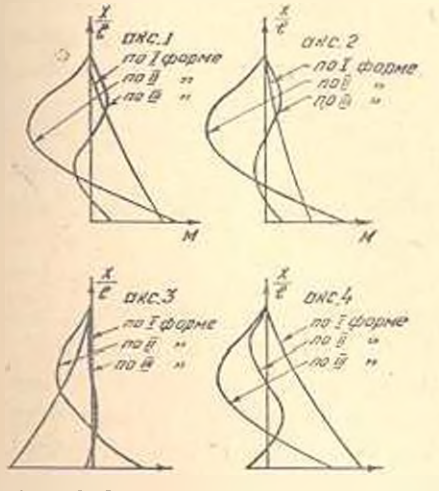


Рис. 5. Эпюры изгибающих моментов по отдельным формам колебаний для акселерограмм № 1-- 4 при ... 0.08.

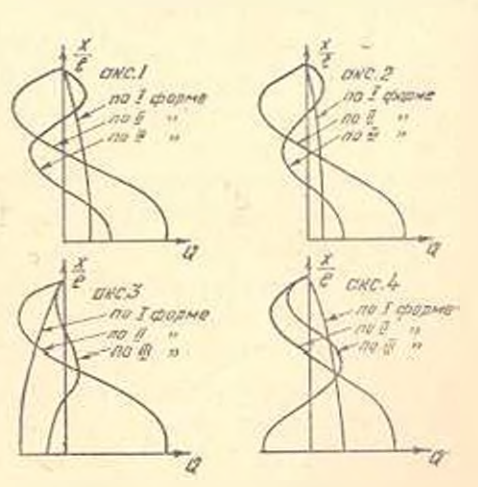


Рис. 6. Эпюры перерелывающих сил по отлельным формам для акселерограмы № 1—4 при х=0,08,

Все сраняения произведены при = 0,08.

верхних частей сооружений, осуществленных из материалов плохо сопротивляющихся растяжению и срезу. Поэтому вероятность разрушения гибких сооружений и верхней части будет больше, чем в основании, что в общем соответствует картине разрушений при сильных землетрясениях [5].

На рисунках 5 и 6 построены эпюры изгибающих моментов и поперечных сил по отдельным формам, показывающие, что даже в основании значения изгибающих моментов по второй форме колебаний могут быть больше, чем по первой форме. Значения поперечных сил по второй и даже третьей форме колебания по высоте сооружения почти везде больше, чем по первой форме колебания.

Заметим, что влияние высших форм колебаний на распределение поперечных сил, как и следовало ожидать, больше чем на взгибающие моменты, так как при дифференцировании сходимость рядов ухудшается.

На рис. 7 представлены этпоры изгибающих моментов и поперечных сил с учетом трех форм и по первой форме колебаний (пунктир) для $\alpha = 0.08$ при сейсмическом ударе в основании [2]. Эти этпоры

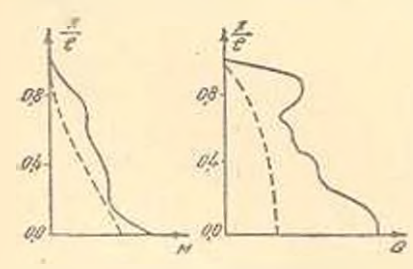


Рис. 7. Эпюры изгибающих моментов и перерезыпающих сил при сейсинческом ударе в основании для т—0,08.

показывают, что для гибких сооружений характеры эпюр изгибающих моментов и поперечных сил с учетом трех форм колебаний, построенных по акселерограмм землетрясений, сходны эпюрам, которые получаются при предположении, что землетрясение можно рассматривать как сейсмический удар. Зависямости изгибающих моментов и поперечных сил от коэффициента впутреннего трения с для сечений

 $\frac{x}{I} = 0$ и $\frac{x}{I} = 0.7$, приведенные на рис. 8,

показывают, что влияние внутреннего трения незначительно. Заметим, что вналогичные зависимости были получены нами при сейсмическом ударе [6].

Проведенные в настоящей статье исследования по расчету гибких сооружений, а также прежние наши исследования по структуре спектрольных крявых [3] и по расчету сдвиговых колебаний зданий [7] показывают, что при помощи современных электронных вычислительных машин можно получить все необходимые данные о поведении различных сооружений при сильных землетрисениях. Предварительное обобщение результатои проведенных исследований одповременно показывает, что несмотря на различные законы колебания почвы при землетрясениях, которые были зарегистрированы в различных точках земли и в различное время, полученные результаты по четырем землетрясениям качественно мало отличаются друг от друга.

Причем, как было отмечено выше, сходные результаты получают-

ся и при рассмотрении землетрясения как кратковременного удара или толчка. Для системы с одной степенью свободы это было отмечено и Д. Хадсоном [8], который считает возможным рассмотреть некоторые типичные землетрясения как последовательность случайных импульсов. К гакому выводу Д. Хадсон пришел путем зналитического

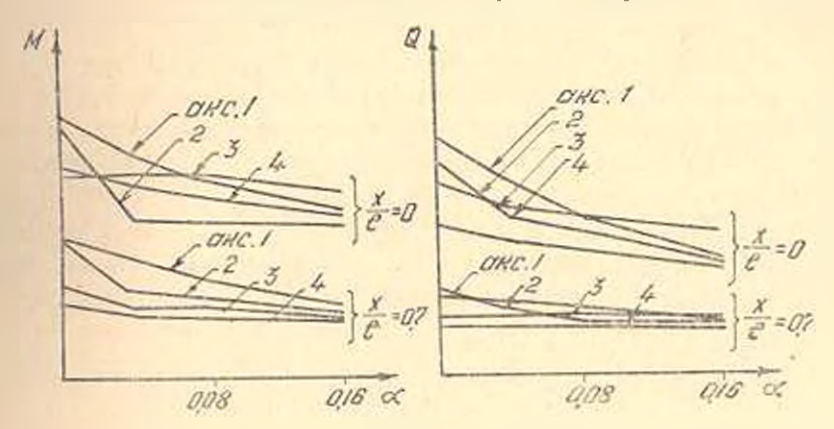


Рис. 8. Зависимости изгибающих моментов и перерелывающих сил от коэффициента внутренного трения.

построения спектра реакции рассматривая колебання грунта как большое количество импульсов, хаотически распределенных во времени.

В исследованиях по инженерной сейсмологии тоже указываются напроявление землетрясений как последовательных ударов и толчков следующих друг за другом через неправильные промежутки времени. А. Г. Назаров в 1945 году в работе [9] обобщил и дал механическое истолкование сейсмическим ударом и толчкам и их воздействию на сооружения. Им было отмечено также, что результиты расчета простых сооружений с одной степенью свободы на кратковременные сейсмические удары и толчки соответствуют разрушениям, наблюдаемым при сильных землетрясениях.

В настоящее время расчет на сейсмостойкость в ряде стран ведется по спектральной кривой, которая представляет собой постоянную величину при Т = 0.3, далее убывает по гиперболическому закону. Назаров [1, 10] впервые обратил внимание на то, что горизонтальная часть такого сейсмического спектра соответствует сейсмическому толяку, а гиперболическая часть—сейсмическому удару. На
основании этого нами был предложен способ учета влияния высших
форм колебаний при расчете сооружений на сейсмостойкость по
спектральной кривой [11]. Суть этого метода заключается в следующем. Так как горизонтальную часть спектра можно интерпретировать
как сейсмический толчок, а гиперболическую часть как удар (импульст, то наложение сейсмических нагрузок по формам колебаний
можно произвести подобно наложениям при толчке и ударе. Это дало возможность применить спектральную кривую и для расчета систем со многими степенями свободы. Но так как нет взвимно одно-

значного соответствия между спектрами и землетрясением (в принципе одни и тотже спектр может отвечать землетрясениям с разлачными законами колебания почвы, поскольку спектр дает лишь максимальные значения ускорений), то этот способ нуждался в уточнении
при реальных землетрясениях. Результаты расчета по реальным акселерограммам сильных землетрясений приведенные в настоящей и
прежних статьях [3, 7] показывают, что при практических расчетах
этот способ не даст большой погрешности. Таким образом, результаты проведенных исследований показывают, что используя современные электронные вычислительные машины для расчета различных типов сооружений по реальным акселерограммам достаточного количества сильных землетрясений, сгруппированных по интенсивностям,
грунтовым условиям и географическому положению, можно будет
найти упрощенные методы расчета сооружений на сейсмостойкость.

Армянский НИИ строительных материалов и сооружений

Поступило 23.V.1962

Է Ե, ԽԱԶԻՅԱՆ

ԿԱՌՈՒՑՎԱԾՔՆԵՐԻ ՍԵՅՍԻԱԿԱՅՈՒՆՈՒԹՅԱ<mark>Ն ՀԱՇՎԱ</mark>ՐԿԸ ՈՒԺԵՂ ԵՐԿՐԱՇԱՐԺԵՐԻ ԱԿՍԵԼԵՐՈԳՐԱՄԱՆԵՐԻ ՀԻՄԱՆ ՎՐԱ

(Lugargoof 2)

Undernhard

Հոդվածում բերվում են ձկուն կառուցվածջների սեյսնոկայունուիյան ուսումնասիրությունները 7 և 8 բալանոց ումեղ երկրաշարժերի ակսելերոգրամմանների հիման վրա Էլևկտրոնային հաշվիշ մեջննաների օգնությամը.
Հաշվարկումները կատարված են չորս տարբեր երկրաշարժերի համար։ Այդ
երկրաշարժերի հիմնական բնութագիրը բերված են [3] աշխատանքումԵյեկտրոնային հաշվիշ մեջննայի օգնությամբ կառուցված են ձկուն կասուցվածքի ծուող մոմննաների և կարող ուժերի մաքսիմալ արժեքների Լայուբաները մարման տարբեր գործակիցների դեպբում, որոնք բերված են 3-րդ և
1-րդ նկարներում։ Մանրամասն ուսումնասիրության է ենթարկված տատանման բարձր ձևերի ազդեցությունները ծուղ մոմննաների և կարող ուժերի մեծությունների վրա։ Այդ ուսումնասիրությունները ցույց են տալիս, որ տատանման բարձր ձևերը Լական ազդեցությունները մեն ունենում հկուն կառուցվածջների սելսմոկայունության վրա։ Ստացված արդյունքների հիման վրա արվում են սրոշ նախնական եզրակացություններ ուժեղ երկրաշարժերի ժամանակ հկուն կառուցվածջների բուլթայման հավանական անդներ վերարևոյաց

Հոգվածի վերջում ելնելով ստացված արդյունըներից և ամվուփելով [3, 7] աշխատանըների արդյունըները նշվում է, որ օգտագործելով ժամանակակից էլնկարոնային հաշվիչ մերենաները բավական քվով ուժեղ երկրաշարժերի ազդեցությունները տարրեր կառուցվածըների վրա ուսումնասիրելու համար, հնարավոր կլինի ստանալ ավելի պարզ մեքեողներ կառուցվածըների սելունությունն ուսումնասիրելիս։

JHIEPATYPA

- 1. Назаров Л. Г. Метод виженерного анализа сейсмических сил. Ерепан 1959
- Ханиян Э. Е. Колебание бруса под действием сейсмического удара и толчка с учетом рассеяния энергии. Изпестия АН Армянской ССР (серия ТН г. Х. № 6, 1957.
- Ханиян Э. Е. Расчет сооружений на сенсинстойкость по акселерограммам сильных земяетрясений (Сообщение 1). Изпестия АН Армянской ССР (серия ТН). т. XV, № 3, 1962.
- 4 Медведев С. В. Ускорение колебании грунта при сильных землетрясениях. Тр-Института физики Земли АН СССР № 10 (177). Вопросы инженерной сейсмоаогии. Вып. 3, изд. АН СССР. М., 1960.
- Рассказовский В. Т. Колебание гибких сооружений, вызванных действием кратковременных инерпионных нагрузок. Навестия АН Узбекской ССР, № 6, 1956.
- Хачиян Э. Е. О влиянии высших форм колебаний и рассеяния энергии на неличину сейсмической нагрузки. Тр. Армянского Института стройматериалов и сооружений. Вып. 1, Ереван. 1959.
- Хачиян Э. Е. Использование электронных вычислительных машин для расчета сооружений со многими степенями своболы на сейсмостойкость. Бюллетень Совета по сейсмологии АН СССР. М., 1962 в печати).
- Хадсон Д. Техника построения спектральной реакции, применяемая и инженерной сейсмогойн. Международная конференция по сейсмостойному строительству-М., Госстройналат, 1961.
- 9. Назаров А. Г. Сейсмические удары и толчки и их тействие на сооружения. Гр бюро автисейсмического строительства АН Грузинской ССР. Тбилиси, 1945.
- Назарав А. Г. Упрощенный способ расчета сооружений ил сейсмостойкость. Изпестия АН Армянской ССР, т. 1X. № 10, 1956.
- Хачиян Э. Е. К интерпретации сейсмического спектра и учету ваняни высших форм келебаний "Известия АН Армянской ССР* серия ГН т. XII. № 3, 1958-

Տեխա, գիտութ, սեշիա

XV, No. 5, 1962

Серия технических наук

ПРИКЛАДНАЯ МЕТЕОРОЛОГИЯ

а. М. МХИТАРЯН

О БРИЗАХ В БАССЕЙНЕ ОЗЕРА СЕВАН И НЕКОТОРЫЕ РЕЗУЛЬТАТЫ ИХ РАСЧЕТА ПО ФАКТИЧЕСКОМУ РАСПРЕДЕЛЕНИЮ ТЕМПЕРАТУРЫ ПОДСТИЛАЮЩЕЙ ПОВЕРХНОСТИ

Сообщение 1

Первые исследователи гидрометеорологического режима озера Севан бризам уделяли мало внимания, считая, что бризовая циркуляция здесь слабо развита. (см. например [11], [19] и др.). Экспедицией Главной геофизической обсерватории им. А. И. Воейкова, результаты работы которой обобщены в [21], этому вопросу было уделено больше вигмания. После организации серийных наблюдений с береговых мостков на многих пунктах, а также во время работы экспедиции Института водных проблем АН Армянской ССР этот вопрос изучался дополнительно [18]. Проблема изучения ветрового режима водоемов и озер имест не только познавательное, но и прикладное значение. Это вытекает не только из необходимости разработать методы учета локальных атмосферных процессов в прогнозе погоды и отдельных ее явлений, отмеченной И. А. Кибелем [12, 13]. Изучение местных ветров связано с решением и других прикладных задач [8], в том числе и с задачен об определении испарения с поверхности водоемов и озер [18, 19, 21] и др.

В последнее время выдвигается проблема сокращения потерь воды на испарение с поверхности водолмов и озер путем применения иономолекулярных пленок [11а, 15]. На эффективность дейстиия мономолекулярных слоев известное илияние оказывает ветровой режим над водоемом. Это особенно важно для горных водоемов, имеющих сложный ветровой режим, вследствие того, что на общии ветровой фонопределяемый общециркуляционными процессами большого масштаба, накладываются локальные ветры—бризовые, горно-долинные, фёновые. Последние будут играть решающую роль при выборе практических методов покрытия поверхности озера пленкой, способов ее подачи, а также при определении нормы вещества, частоты его пуска и т. д. При такой постановке вопроса, оперировать средними значениями скорости ветра за большие промежутки времени, как это делается при воднобалансовых расчетах, уже нельзя. В этом случае расчеты следует проводить для сравнительно коротких промежутков времени, с большей

гочностью, учитывая также направление скорости ветра. С этой точки зрения изучение бризовой циркуляции вообще, и в бассейне озера Севан в частности, имеет существенное практическое значение.

В статье рассматривается лишь бризовая циркуляция, возникающая, как известно, вследствие температурной неодноролности подстилающей поверхности и имеющая суточный ход. Дейстние других местных ветров пока не учитывается. При этих предположениях получается сравнительно простая теоретическая модель в рамках линейной теории. В следующем сообщении будут рассматриваться конкретные примеры и будет дан анализ по полученным результатам.

Научению бризов посвящено большое количество работ. В связи с ограниченными возможностями статьи укажем лишь на работы А. И. Воейкова [7], теоретические—[2,8—10, 13, 16, 17, 20—28], экспериментальные—[4, 6, 14]. Ряд вопросов освещен в [1, 3, 17] и др. В работах [8, 9] Л. Н. Гутману удалось решить задачу до конца и получить ряд выводов, хорошо согласующихся с наблюдениями. В данной работе принимается известным распределение температуры и влажности по подстилающей поверхности, которое либо берется из фактических наблюдений, либо может быть определено из условия баланса.

§ 1. Вывод уравнений задачи

Исходя из общих уравнений гидротермодинамики с учетом влажности и полагая коэффициент турбулентного перемешивания олинаковым для переноса количества движения, тепла и влаги, запишем систему уравнений в виде

$$\frac{du}{dt} = -\frac{1}{\rho} \frac{\partial \rho}{\partial x} + \frac{\partial}{\partial z} \left(k \frac{\partial u}{\partial z} \right) + k_1 \Delta u + lv, \tag{1.1}$$

$$\frac{dv}{dt} = -\frac{1}{s} \frac{\partial v}{\partial v} + \frac{\partial}{\partial z} \left(k \frac{\partial v}{\partial z} \right) + k_1 \Delta v - h_1, \tag{1.2}$$

$$\frac{dw}{dt} = -\frac{1}{p} \frac{\partial p}{\partial z} + \frac{\partial}{\partial z} \left(k \frac{\partial w}{\partial z} \right) + k_1 \Delta w - g, \tag{1.3}$$

$$\frac{ds}{dt} + \delta \left(\frac{\partial u}{\partial x} - \frac{\partial v}{\partial y} + \frac{\partial w}{\partial z} \right) = 0. \tag{1.4}$$

$$\frac{\partial T}{\partial t} = \frac{\partial}{\partial z} \left(k \frac{\partial T}{\partial z} \right) + k_1 \Delta T + F, \tag{1.5}$$

$$\frac{dq}{dt} = \frac{\partial}{\partial z} \left(k \frac{dq}{\partial z} \right) + k_1 \Delta q = f, \tag{1.6}$$

$$p = \rho RT. \tag{1.7}$$

Уравнения (1.1)-(1.7) служат для определения семи неизнестных функций: u, v, w — трех компонентов скорости нетра, а также p, p, T, q — давления, плотности, температуры и влажности воздуха, со-

ответственно. Здесь начало координат расположено на урезе воды, причем z направлено вертикально вверх, x—по нормали к берегу от сущи к воде, у—по касательной к береговой линии. Остальные обозначения следующие: t— время, R— газовая постоянная, g—ускорение силы тяжести. k и k_1 —коэффициенты турбулентного перемешивания по вертикали и горизонтали; $t=2\omega\sin\varphi$ —параметр Корнолиса, причем ω —угловая скорость вращения земли вокруг своей оси, φ —широза местности: F—приток тепла; f—приток влаги: Δ —плоский оператор Лапласа.

Положим

$$p = P(z) + p'(x, y, z, t),
 1 = T(z) + \vartheta(x, y, z, t),
 9 = \gamma_1(z) + \varrho'(x, y, z, t),
 q = Q(z) + \varrho'(x, y, z, t).$$
(1.8)

Стандартные величины, зависящие лишь от z, соответствуют покоящейся атмосфере и сями они также удовлетворяют системе (1.1)—(1.7).

Тогда система (1.1)—(1.7) для бризовых отклонений в предполосмении их малости по сравнению со стандартными и при пспользоватани уравнения состояния (1.7) примет вид:

$$\frac{\partial u}{\partial t} + u \frac{\partial u}{\partial x} + v \frac{\partial u}{\partial y} + w \frac{\partial u}{\partial z} = -RT \frac{\partial p}{\partial x} + \frac{\sigma}{\partial z} \left(k \frac{\partial u}{\partial z} \right) - k_1 \Delta u + lv, \tag{19}$$

$$\frac{\partial v}{\partial t} + u \frac{\partial v}{\partial x} + v \frac{\partial v}{\partial y} + w \frac{\partial v}{\partial z} = -R T \frac{\partial p}{\partial y} + \frac{\sigma}{\partial z} \left(k \frac{\partial v}{\partial z} \right) + k \Delta v - lu,$$
(1.10)

$$\frac{\partial w}{\partial t} + u \frac{\partial w}{\partial x} + v \frac{\partial w}{\partial y} + w \frac{\partial w}{\partial z} = -R T \frac{\partial p}{\partial z} + \frac{\partial}{\partial z} \left(k \frac{\partial w}{\partial z} \right) + k, \Delta w + \lambda \theta, \tag{1.11}$$

$$\frac{\partial u}{\partial x} + \frac{\partial v}{\partial y} + \frac{\partial w}{\partial z} = z w, \qquad (1.12)$$

$$\frac{\partial}{\partial t} + u \frac{\partial \vartheta}{\partial x} + v \frac{\partial \vartheta}{\partial y} + v \frac{\partial \vartheta}{\partial z} + \mu = -\frac{\alpha}{\partial z} \left(k \frac{\partial \vartheta}{\partial z} \right) + k_1 \Delta \vartheta, \quad (1.13)$$

$$\frac{\partial a}{\partial t} + u \frac{\partial a}{\partial x} - v \frac{\partial a}{\partial y} = \frac{\partial a}{\partial z} = \frac{\partial}{\partial z} \left(k \frac{\partial a}{\partial z} \right) = k \Delta a \qquad (1.14)$$

Здесь штрих и черточки над букнами для простоты записи отброшены. Кроме того, обозначено

$$p = \frac{p}{p}$$
, $\lambda = \frac{q}{T} = \gamma_1 - \gamma_1 \operatorname{npn} q < q_2$

20434 X

$$\mu = \gamma_B - \gamma \text{ при } q = q_m; \ z = \frac{1}{\gamma_1} \frac{d\gamma_1}{dz} = \frac{g - \gamma R}{TR}; \tag{1.15}$$

$$\mu_1 = \gamma_q - \gamma_q.$$

В этих выражениях q_m — влажность насыщения, $q_m = q_0$ — вертикальные градиенты температуры в покоящейся, сухой и влажноаднабатической атмосфере.

Уравнения (1.9)—(1.11) и (1.13)—(1.14) нелинейные и решение их связано с большими математическими трудностями, преодолению которых возможно лишь с помощью вычислительных машин.

С другой стороны, оценка членов в уравнениях системы показывает, что без больших погрешностей можно отбросить правую часть в (1.12), хотя сохранение этого члена не саязано с какими-либо затруднениями. В первом приближении можно также не учитывать горизонтальное перемешивание (члены $c k_1$). Анализ показывает, что ускорение Кориолиса целесообразно сохранить, причем оно имеет порядок инерционных членов, если считать, что характерное время явления порядка 4-6 часов. Желая получить простые и легко подажниеся анализу результаты, можно с известной осторожностью линеаризовать нашу систему, памятуя при этом, что отбрасывание нелинейных инерционных членов не должно привести к качественно худшим результатам, учет этих членов улучшит решение лишь в деталях. Несколько лучше было бы сохранить последние члены левых частей двух последних уравнений и горизонтальное перемешивание в уравнении притока тепла (1.13).

С учетом сказанного и с целью получения возможно полной картины развития бриза во времени и в пространстве, возьмем систему уравнений в следующем упрощенном виде:

$$\frac{\partial u}{\partial t} = -R T \frac{\partial p}{\partial x} + \frac{\partial}{\partial z} \left(k \frac{\partial u}{\partial z} \right) + Iv, \tag{1.16}$$

$$\frac{\partial v}{\partial t} = -R T \frac{\partial \rho}{\partial y} + \frac{\partial}{\partial z} \left(k \frac{\partial v}{\partial z} \right) - I \pi_z \qquad (1.17)$$

$$-R T \frac{\partial p}{\partial z} + \lambda \theta = 0, \tag{1.18}$$

$$\frac{\partial u}{\partial x} + \frac{\partial v}{\partial y} + \frac{\partial w}{\partial z} = 0, \tag{1.19}$$

$$\frac{\partial \theta}{\partial t} = \frac{\partial}{\partial z} \left(k \frac{\partial \theta}{\partial z} \right). \tag{1.20}$$

$$\frac{\partial q}{\partial t} = \frac{\partial}{\partial z} \left(k \frac{\partial q}{\partial z} \right) \tag{1.21}$$

Сформулируем краевые условия.

При $z = z_0$ или z = 0 u = v = w = 0, $\theta = \theta_0$ (x, y, t), $q = q_0$ (x, y, t).

(1.22)

 $\mathsf{При}\ z \to \infty\ u = v = p = 0 = q = 0.$

Здесь го - параметр шероховатости.

Начальных условий ставить не будем, так как ищется периодическое решение.

§ 2. Решение задачи при отсутствии кориолисовой силы и постоянном коэффициенте турбулентного перемешивания

Система уравнений (1.16)—(1.21) в этом случае еще более упрощается и принимает пид

$$\frac{\partial b}{\partial t} = k \frac{\partial^2 \theta}{\partial z^2} \div \frac{\partial a}{\partial t} = k \frac{\partial^2 q}{\partial z^2} \tag{2.1}$$

$$0 = -RT\frac{\partial p}{\partial z} - \omega \,. \tag{2.2}$$

$$-k\frac{\partial^2 V}{\partial z^2} - \frac{\partial V}{\partial t} = R T \left(\frac{\partial}{\partial x} + i \frac{\partial}{\partial y} \right) p, \qquad (2.3)$$

$$w = -\int_{z}^{z} \left(\frac{\partial u}{\partial x} + \frac{\partial v}{\partial y} \right) dz. \tag{2.4}$$

Здесь V=u-iv. Граничные условия имеют вид (1.22). Предволожим теперь, что функции θ_0 (x, y, t) и q (x, y, t) известны и представлены в виде следующих рядов

$$\vartheta_0(x, y, t) = \sum_{n=1}^{\infty} [T_n(x, y) \cos n\omega t - T_n(x, y) \sin n\omega t],$$
 (2.5)

$$q_0(x, y, t) = \sum_{n=1}^{\infty} [q_n(x, y) \cos n\omega t - q_n(x, y) \sin n\omega t].$$
 (2.6)

Если обозначить

$$\sigma_n^2 = \frac{n\omega}{2k} \,, \tag{2.7}$$

то решения уравнений (2.1), при граничных условиях (1.22), с учетом (2.5), (2.6) можно представить в виде

$$0 = \sum_{n=1}^{\infty} e^{-a_n z} \left[T_n \cos \left(n \cdot \omega t - z_n z \right) + T_n \sin \left(n \omega t - z_n z \right) \right],$$

$$q = \sum_{n=1}^{\infty} e^{-z_n z} \left[q_n \cos (n \omega z - z_n z) - q_n \sin (n \omega z - a_n z) \right]. \tag{2.8}$$

Подставляя теперь в на (2,8) н (2,2), найдем

$$v = -\frac{i}{2RT} \sum_{n=1}^{\infty} \frac{e^{-s_n z}}{z} [(T_n - T_n)\cos(n\omega t - s_n z) + (T_n + T_n)\sin(n\omega t - s_n z)].$$
(2.9)

Подстановка (2.9) в правую часть (2.3) дает

$$\frac{\partial^2 V}{\partial z} - \frac{1}{k} \frac{\partial}{\partial z} = -\frac{k}{2k} \sum_{n=1}^{\infty} \frac{e^{-nz}}{z_n} [M_n \cos(n\omega t - z_n z) + M_n \sin(n\omega t - z_n z)].$$

(2.10)

$$M_n = \left(\frac{\partial}{\partial x} + i \frac{\partial}{\partial y}\right) (T_n - T_n), \quad M_n = \left(\frac{\partial}{\partial x} + i \frac{\partial}{\partial y}\right) (T_n + T_n).$$
 (2.11)

Нщем решение уравнения (2.10) в виде

$$V = \sum_{n=1}^{\infty} e^{-s_n z} \left[u_n(x, y, z) \cos(n\omega t - s_n z) + v_n(x, y, z) \sin(n\omega t - z) \right].$$

(2.12)

Подстановка (2.12) в (2.10) приводит к следующей системе из двух уравнений для определения двух неизвестных комплексных функций u_n и v_n :

$$\frac{\partial^2 u_n}{\partial z^2} - 2 \frac{\partial u_n}{\partial z} - 2 z_n \frac{\partial u_n}{\partial z} - \frac{i M_n}{2 z_n k}. \tag{2.13}$$

$$\frac{\partial^2 v_n}{\partial z^2} - 2 z_n \frac{\partial v_n}{\partial z} - z_n \frac{\partial u_n}{\partial z} = -\frac{\lambda_n M_n}{2\sigma_n k}$$

Нсключая поочередно из этих уравнений u_n и v_n , получим

$$L(u_n) = L_n, L(v_n) = L_n$$
 (2.14)

причем оператор L имеет следующий смысл

$$I(\Phi) = \frac{\partial}{\partial z^{3}} - 4\pi \frac{\partial}{\partial z^{2}} + 8\sigma_{n}^{2} \frac{\partial \Phi}{\partial z}. \tag{2.15}$$

$$L_{n} = \frac{1}{k} \left(M_{n} - M_{n} \right) = -\frac{2i}{k} \left(\frac{\partial}{\partial x} + i \frac{\partial}{\partial y} \right) T_{n}^{i}$$
 (2.16)

$$L_n = \frac{\lambda}{k} \left(M_n + M_n \right) = \frac{2\lambda}{k} \left(\frac{\alpha}{\partial x} + i \frac{\partial}{\partial y} \right) T_n. \tag{2.16}$$

Уравнения (2.14) пеоднородные третьего порядка, с постоянными коэффициентами. Решая их обычными методами, используя систему (2.13) для определения двух постоянных и краевые условия (1.22)— для определения четырех остальных, получим

$$a_n = \frac{1}{8a_n^*} \cdot a_n = \frac{1}{8a_n^*} \cdot a_n$$
 (2.17)

Подставляя это в (2.12), используя затем (2.16) и отделяя действительные и мнимые части, получим окончательно

$$u = -\frac{1}{4k} \sum_{n=1}^{\infty} \frac{e^{-z_n z}}{z^2} \left| \frac{\partial T_n}{\partial z} \cos(n\omega t - z_n z) - \sin(n - z_n z) \right|,$$

$$v = -\frac{1}{4k} \sum_{n=1}^{\infty} \frac{e^{-z_n^2}}{z_n^2} \left[\frac{\partial T_n}{\partial y} \cos \left(n\omega t - z_n z \right) - \frac{\partial T_n}{\partial y} \sin \left(n\omega t - z_n z \right) \right]. \tag{2.18}$$

Подстановка этого решения в (2.4) дает следующее выражение для вертикальной скорости

$$\overline{w} = \frac{\lambda}{8k_{\pi}} \sum_{n=1}^{\infty} \left(\Delta T_n \cos n \, \omega t + \Delta T_n \sin n \omega t \right) -$$

$$= \frac{1}{8\kappa} \sum_{n=1}^{\infty} \frac{1}{\sigma_n^4} \left[\left[z_n = \Delta \left(T_n - T_n \right) + \Delta T_n \right] \cos \alpha_n + \left[z_n z \Delta \left(T_n - T_n \right) + \Delta T_n \right] \sin \alpha_n \right]$$
(2.19)

$$\alpha_n = n\omega t - \sigma_n z. \tag{2.20}$$

Уравнения (2.8), (2.9), (2.18) и (2.19) позволяют решить поставленную задачу.

§ 3. Решение задачи с учетом кориолисовой силы при постоянном коэффициенте турбулентного перемешивания

Система уравнений (1.16)- (1.21) в этом случае примет вид

$$\frac{\partial^2 V}{\partial z^2} = \frac{1}{k} \frac{\partial V}{\partial t} = \frac{it}{k} V = \frac{RT}{k} \left(\frac{\partial}{\partial x} + t \frac{\partial}{\partial y} \right) p. \tag{3.1}$$

Остальные четыре уравнения совпадают с (2.1), (2.2) и (2.4). Тогда решения для ϑ , q и p даются формулами (2.8) и (2.9). Если подставить сюда p из (2.9), ввести обозначения (2.11) я (2.20), то будем иметь

$$\frac{\partial^2 V}{\partial z^n} - \frac{1}{k} \frac{\partial V}{\partial t} - \frac{it}{k} V = -\frac{1}{2k} \sum_{n=1}^{\infty} \left[M_n \cos \alpha_n + M_n \sin \alpha_n \right]. \quad (3.2)$$

При l=0 это уравнение совпадает с (2.10).

Частное решение неоднородного уравнения (3.2) имеет вид

$$V_{-} = -\frac{1}{2k} \sum_{n=1}^{\infty} \frac{e^{-\alpha}}{z_n} (M_n \cos - + M_n \sin \alpha_n).$$
 (3.3)

Если теперь решение однородного уравнения искать в виде

$$V = \sum_{n=1}^{\infty} [u_n(x, y, z) \cos n \cdot \sigma t - v_n(x, y, z) \sin n \omega t],$$
 (3.4)

то для неизвестных комплексных функций u_n и v_n получим следующую простую систему

$$\frac{\partial^2 u}{\partial z^2} = \frac{u}{k} - \frac{u\omega}{k} = 0,$$

$$\frac{\partial^2 v_a}{\partial z^2} = \frac{il}{k} v_u + \frac{u\omega}{k} u_u = 0.$$
(3.5)

Неключая поочередно u_n и v_n на (3.5), получим

$$L(\Phi) = \frac{\partial^4 \Phi}{\partial z^4} - \frac{2il}{b} \frac{\partial^2 \Phi}{\partial z^2} + \frac{n^2 \omega^2 - l^2}{b^2} \Phi = 0.$$
 (3.6)

Оператору L удовлетворяют обе функции u_n и v_n . Введем обозначения

$$a_{\lambda}^{2} = \frac{n\omega + l}{2k}, \quad b_{\lambda}^{2} = \left| \frac{n\omega - l}{2k} \right| \tag{3.7}$$

Непользуя (3.5), получим следующее ограниченное на бесконечности решение.

$$u_n = -i c_{1,n} e^{-a_n (1+i)z} + e^{-a_n (1+i)z} + e^{-a_n (1+i)z} + c_{2,n} e^{-b_n (1-i)z},$$

$$(3.8)$$

Заметим, что верхний знак в выражении b_n (1 — i_1z соответствует случаю $n_0 > l$: нижний — $n_0 < l$. Под корнем в (3.7) для b_n всегда берется абсолютное значение.

Подставляя (3.8) в (3.4) и складывая полученное таким образом общее ограниченное решение однородного уравнения с частным решением (3.5) неоднородного уравнения, получим общее решение уравнения (3.2). Используя граничное условие на земле (V=0 при z=0), отделяя действительную и минмую части и введя обозначения

$$K_{nx} = \frac{\partial}{\partial x} (T_n - T_n'); \quad K_{nx} = \frac{\partial}{\partial x} (T_n + T_n');$$

$$K_{ny} = \frac{\partial}{\partial y} (T_n - T_n'); \quad K_{ny} = \frac{\partial}{\partial y} (T_n + T_n), \tag{3.9}$$

получим окончательно

$$u = \frac{\hbar}{2l} \sum_{n=1}^{\infty} \frac{e^{-2nz}}{z^{2}} \left[K_{ny} \cos (n\omega t - z_{n}z) + K_{nz} \sin (n\omega t - z_{n}z) \right] + \frac{\hbar}{4l} \sum_{n=1}^{\infty} \frac{e^{-n_{n}z}}{z^{2}} \left[(K_{ny} - K_{ny}) \cos (n\omega t - a_{n}z) - (K_{ny} + K_{ny}) \sin (n\omega t - a_{n}z) \right] - \frac{\hbar}{2l} \left[(K_{ny} + K_{ny}) \sin (n\omega t - a_{n}z) \right] - \frac{\hbar}{2l} \left[(K_{ny} + K_{ny}) \sin (n\omega t - a_{n}z) \right] - \frac{\hbar}{2l} \left[(K_{ny} + K_{ny}) \sin (n\omega t - a_{n}z) \right] - \frac{\hbar}{2l} \left[(K_{ny} + K_{ny}) \sin (n\omega t - a_{n}z) \right] - \frac{\hbar}{2l} \left[(K_{ny} + K_{ny}) \sin (n\omega t - a_{n}z) \right] - \frac{\hbar}{2l} \left[(K_{ny} + K_{ny}) \sin (n\omega t - a_{n}z) \right] - \frac{\hbar}{2l} \left[(K_{ny} + K_{ny}) \sin (n\omega t - a_{n}z) \right] - \frac{\hbar}{2l} \left[(K_{ny} + K_{ny}) \sin (n\omega t - a_{n}z) \right] - \frac{\hbar}{2l} \left[(K_{ny} + K_{ny}) \sin (n\omega t - a_{n}z) \right] - \frac{\hbar}{2l} \left[(K_{ny} + K_{ny}) \sin (n\omega t - a_{n}z) \right] - \frac{\hbar}{2l} \left[(K_{ny} + K_{ny}) \sin (n\omega t - a_{n}z) \right] - \frac{\hbar}{2l} \left[(K_{ny} + K_{ny}) \sin (n\omega t - a_{n}z) \right] - \frac{\hbar}{2l} \left[(K_{ny} + K_{ny}) \sin (n\omega t - a_{n}z) \right] - \frac{\hbar}{2l} \left[(K_{ny} + K_{ny}) \sin (n\omega t - a_{n}z) \right] - \frac{\hbar}{2l} \left[(K_{ny} + K_{ny}) \sin (n\omega t - a_{n}z) \right] - \frac{\hbar}{2l} \left[(K_{ny} + K_{ny}) \sin (n\omega t - a_{n}z) \right] - \frac{\hbar}{2l} \left[(K_{ny} + K_{ny}) \sin (n\omega t - a_{n}z) \right] - \frac{\hbar}{2l} \left[(K_{ny} + K_{ny}) \sin (n\omega t - a_{n}z) \right] - \frac{\hbar}{2l} \left[(K_{ny} + K_{ny}) \sin (n\omega t - a_{n}z) \right] - \frac{\hbar}{2l} \left[(K_{ny} + K_{ny}) \sin (n\omega t - a_{n}z) \right] - \frac{\hbar}{2l} \left[(K_{ny} + K_{ny}) \sin (n\omega t - a_{n}z) \right] - \frac{\hbar}{2l} \left[(K_{ny} + K_{ny}) \sin (n\omega t - a_{n}z) \right] - \frac{\hbar}{2l} \left[(K_{ny} + K_{ny}) \sin (n\omega t - a_{n}z) \right] - \frac{\hbar}{2l} \left[(K_{ny} + K_{ny}) \sin (n\omega t - a_{n}z) \right] - \frac{\hbar}{2l} \left[(K_{ny} + K_{ny}) \sin (n\omega t - a_{n}z) \right] - \frac{\hbar}{2l} \left[(K_{ny} + K_{ny}) \sin (n\omega t - a_{n}z) \right] - \frac{\hbar}{2l} \left[(K_{ny} + K_{ny}) \sin (n\omega t - a_{n}z) \right] - \frac{\hbar}{2l} \left[(K_{ny} + K_{ny}) \sin (n\omega t - a_{n}z) \right] - \frac{\hbar}{2l} \left[(K_{ny} + K_{ny}) \sin (n\omega t - a_{n}z) \right] - \frac{\hbar}{2l} \left[(K_{ny} + K_{ny}) \sin (n\omega t - a_{n}z) \right] - \frac{\hbar}{2l} \left[(K_{ny} + K_{ny}) \sin (n\omega t - a_{n}z) \right] - \frac{\hbar}{2l} \left[(K_{ny} + K_{ny}) \sin (n\omega t - a_{n}z) \right] - \frac{\hbar}{2l} \left[(K_{ny} + K_{ny}) \sin (n\omega t - a_{n}z) \right] - \frac{\hbar}{2l} \left[(K_{ny} + K_{ny}) \sin (n\omega t - a_{n}z) \right] - \frac{\hbar}{2l} \left[($$

$$= \frac{\lambda}{2} \sum_{n=1}^{\infty} \left[(K_{nx} + K_{ny}) \cos (n\omega t = b_n z) + (K_{nx} - K_{ny}) \sin (n\omega t + b_n z) \right],$$

$$v = \frac{1}{2\ell} \sum_{n=1}^{\infty} \frac{1}{z_n} [K_{13} \cos(n\omega t - z_n z) + K_{n3} \sin(n\omega t - z_n z)]_{-1}^{\infty}$$

$$= \frac{1}{4\ell} \sum_{n=1}^{\infty} \frac{1}{[(K_{n3} + K_{ny}) \cos(n\omega t - a_n z) + (K_{n3} - K_{n3}) \sin(n\omega t - a_n z)]_{-1}^{\infty}}{[(K_{n3} + K_{ny}) \cos(n\omega t - a_n z) + (K_{n3} - K_{n3}) \sin(n\omega t - a_n z)]_{-1}^{\infty}}$$

$$\frac{1}{4l} = \frac{\left[(K_{nx} + K_{ny}) \cos(n\omega t - a_n z) + (K_{nx} - K_{nx}) \sin(n\omega t - a_n z) \right] + }{-a_n z}$$

$$= \frac{\lambda}{L} \sum_{n=1}^{\infty} \frac{e^{-b_{n}z}}{[(K_{nx} - K_{nx}^{1})\cos(n\omega t + b_{n}z) + (K_{nx}^{1} + K_{nx})\sin(n\omega t + b_{n}z)]}.$$
(3.11)

Здесь, как и выше, в скобках последних членов верхний знак берется при $n\omega > l$, и нижний — при $n\omega < l$.

Нетрудно заметить, что при l=0 $a_n=b_n=z_n$ и решения (3.10), 13.11) приводят к неопределенности. Раскрывая неопределенность, получим выражения, в точности совпадающие с (2.18).

Подставляя полученное решение в (2.1), нахолим:

$$w = -\frac{\lambda}{4l} \sum_{n=1}^{\infty} \frac{1}{a_n \sigma_n} \left[\Delta T_n \cos n\omega t + \Delta T_n \sin n\omega t \right] + \frac{\lambda}{4l} \sum_{n=1}^{\infty} \frac{e^{-a^2}}{a_n \sigma_n} \left[\Delta T_n \cos (n\omega t - a_n z) + \Delta T_n \sin (n\omega t - a_n z) \right] + \frac{\lambda}{4l} \sum_{n=1}^{\infty} \frac{1}{a_n \sigma_n} \left[\Delta T_n \cos n\omega t + \Delta T_n \sin n\omega t \right] - \Delta T_n$$

$$\frac{\lambda}{4l} \sum_{n=1}^{\infty} \frac{1}{a_n \sigma_n} \left[\Delta T_n \cos (n\omega t - b_n z) - \Delta T_n \sin (n\omega t - b_n z) \right] - \Delta T_n$$

$$(3.15)$$

 $|\Delta T_n^1| = |\Delta T_n^1| = |\Delta T|$ Здесь также верхние знаки и Лапласианы от T_n и T_n берутся при

n → > 1. нижние — при п → < 1.

Таким образом решение задачи в рассматриваемом случае полу-

Таким образом решение задачи в рассматриваемом случае получаются на основании выражений (2.8), (2.9), (3.10), (3.11) и (3.12).

§ 4. Решение задачи при отсутствии кориолисовой силы и переменном коэффициенте турбулентного перемешивания

Система уравнений (1.16)—(1.21) остается без изменения, надолиць принять t=0.

Для коэффициента турбулентности воспользуемся моделью с изломом

$$k = k_0 z, \ z < h,$$

$$k = k_0 h, \ z > h.$$
(4.1)

Выпишем систему уравнений для первого слоя $(z_0 \leqslant z \leqslant h)$, снабдив соответствующие величины индексами 1.

$$\frac{\partial \theta_1}{\partial t} = k_0 \frac{\partial}{\partial z} \left(z \frac{\partial \theta_1}{\partial z} \right) \cdot \frac{\partial q_1}{\partial t} = k_0 \frac{\partial}{\partial z} \left(z \frac{\partial q_1}{\partial z} \right). \tag{4.2}$$

$$0 = -RI \frac{\partial p_1}{\partial z} + \lambda \theta_1, \tag{4.3}$$

$$k_{0} \frac{\partial}{\partial z} \left(z \frac{\partial V_{1}}{\partial z} \right) - \frac{\partial V_{0}}{\partial t} = RT \left(\frac{\partial}{\partial x} - i \frac{\partial}{\partial y} \right) \rho_{0}$$
 (4.4)

$$w_{z} = -\int \left(\frac{\partial u_{z}}{\partial x} + \frac{\partial v_{z}}{\partial y}\right) dz. \tag{4.5}$$

Система уравнений для второго слоя (z > h) имеет вид (соответствующие величины снабжены индексом 2)

$$\frac{\partial h_{\sigma}}{\partial t} = k_0 h \frac{\partial^2 h}{\partial z^2} \cdot \frac{\partial q_{\sigma}}{\partial t} = k_0 h \frac{\partial^2 h}{\partial z^2}. \tag{4.2'}$$

$$0 = RT \frac{\partial p_2}{\partial z} + \lambda \vartheta_2 \,. \tag{4.3'}$$

$$k_0 h \cdot \frac{\partial^2 V_2}{\partial z^2} - \frac{\partial V}{\partial t} = RT \left(\frac{\partial}{\partial x} + i \frac{\partial}{\partial y} \right) p_2, \tag{4.4'}$$

$$w_{z} = -\int \left(\frac{du_{z}}{\partial x} + \frac{\partial v_{z}}{\partial y}\right) dz + c_{0}(x, y, t). \tag{4.5'}$$

Граничные условия будут иметь вид:

1. При
$$z = z_0$$
 $u_1 = v_1 = w_1 = 0$; $\theta_1 = \theta_0$ (x, y, t) ; $q_1 = q_0$ (x, y, t) .

2. При
$$z=n$$
 $u_1=u_2, \ v_1=v_2, \ w_1=w_2, \ p_1=p_2, \ \vartheta_1=\vartheta_2, \ v_1=q_2,$

3. При z - h совпядают первые производные по z.

4. При
$$z \to \infty$$
 $u_2 = v_2 = p$, $= \theta_2 = a_2 = 0$, (4.6) причем, как и выше, θ_0 и и имеют вид (2.5), (2.6).

Решение системы начнем с (4.2) и (4.2°). Ищем их решение в следующем виде.

$$\theta_1 = \sum_{n=1}^{\infty} \left[\theta_{1,n}(x, y, z) \cos n\omega t + \theta_{1,n}(x, y, z) \sin n\omega t \right],$$

$$\theta_2 = \sum_{n=1}^{\infty} [\theta_{2,n}(x, y, z) \cos n \omega t + \theta_{2,n}(x, y, z) \sin n \omega t]. \tag{4.7}$$

Подставляя (4.7) в (4.2'), получим

$$z \frac{\partial^2 \Phi_n}{\partial z^2} + \frac{\partial \Phi_n}{\partial z} + \frac{in\omega}{k_0} \Phi_n = 0, \tag{4.8}$$

$$\frac{\partial^2 \psi_n}{\partial z^2} + \frac{i \hbar \omega}{k_0 \hbar} \psi_n = 0.$$

$$\Phi_{n} = \vartheta_{1, n} + \varpi_{1, n}, \ \varphi_{n} = \vartheta_{2, n} + i\vartheta_{2} \tag{4.9}$$

Граничные условия для Φ_n и Φ_n имеют вид

- 1. $\Pi \rho \pi z = z_0 \Phi_n = T_n + i T_n$
- 2. При $z = h \Phi_n = \Phi_n$,

3. При
$$z = h \frac{\partial \Phi_{\alpha}}{\partial z} = \frac{\partial \Phi_{\alpha}}{\partial z}$$
 (4.9')

При z → ∞ ∮_n = 0.

Уравнения (4.8) имеют следующие решения

$$\Phi_n = c_{1,n} I_0 (a_n + iz) + c_{2,n} H_0 (a_n + iz),$$

$$\Psi_n = c_{3,n} e^{k_n (z-h)} + c_{4,n} e^{-k_n (z-h)}$$
(4.10)

$$3_n = 2 \sqrt{\frac{nw}{k_0}}; k_n = s_n (1-i) = \sqrt{\frac{nw}{2k_0h}} (1-i).$$
 (4.11)

Здесь I_0 и H_0 функции Бесселя и Ханкеля. Условие 4 из (4.10) дает $c_{3,n} \equiv 0$, остальные три приводят к трем уравнениям для определения постаянных интегрирования, зависящих от (x, y).

Если ввести обозначения

$$\zeta = \beta_n \sqrt{iz}, \ \zeta_0 = \beta_n + iz_0, \ \zeta_h = \beta_n + ih,$$

$$D_n^{-1} = I_0 \ (\zeta_0) \ [H_0 \ (\zeta_h) - iH_1 \ (\zeta_h)] - H_0 \ (\zeta_0) \ [I_0 \ (\zeta_h) - iI_1(\zeta_h)], \tag{4.12}$$

то для ст, получаются выражения

$$c_{1,n} = D_n (T_n + iT_n) [H_0 (\zeta_h) - iH_1 (\zeta_h)],$$

$$c_{2,n} = -D_n (T_n + iT_n) [I_0 (\zeta_h) - iH_1 (\zeta_h)],$$

$$c_{4,n} = c_{1,n} I_0 (\zeta_h) + c_{2,n} H_0 (\zeta_h).$$
(4.13)

Обратимся к уравнениям (4.3) и (4.3'). Выполняя квадратуры, получим

$$p_1 = \frac{\lambda}{RT} \int \theta_1 \, dz + c_0 \, (x, y, t), \, p_2 = \frac{\lambda}{RT} \int \theta_2 \, dz.$$
 (4.14)

Легко видеть, что граничные условия выполнены, кроме условия $p_1 = p_2$ при z = h, откуда и определится c_0 .

Подставляя в (4.14) решения (4.7), воспользуясь указанным выше граничным условием на z=h, а также последним выражением из (4.13), получим

$$p_{1\cdot n} + i p_{1,n}^{\cdot} = \frac{2V - i\beta_n}{i\beta_n} \left[c_{1,n} I_1 \left(\beta_n V - iz + c_{2,n} H_1(\beta_n) - iz \right), \quad (4.15) \right]$$

$$c_0 = 0, \quad p_{2,n} + i p_{2,n}^{\cdot} = -\frac{c_n}{k_n} e^{-k_n (z-h)} .$$

причем решение (4.14) представлено в виде

$$p_{i} = \frac{r}{RT} \sum_{n=1}^{\infty} (p_{i,n} \cos n \, \omega t + p_{i,n} \sin n \omega t), (i = 1,2). \tag{4.16}$$

Вернемся теперь к уравненням (4.4) и (4.4').

Так как уравнения для u_1 и v_1 , а также для и v_2 отличаются лишь правыми частями, причем вместо производной по x от p для первых входит производная по y от p, то мы рассмотрим решение лишь для u_1 и u_2 , а для v_1 и v_2 напишем по аналогии.

Выпишем эти уравнения:

$$\frac{\partial}{\partial z}\left(z\frac{\partial u_{z}}{\partial z}\right) - \frac{1}{k_{0}}\frac{\partial u_{z}}{\partial t} = \frac{\lambda}{k_{0}}\sum_{n=1}^{\infty}\left(\frac{\partial p_{1,n}}{\partial x}\cos n\omega t + \frac{\partial p_{1,n}}{\partial x}\sin n\omega t\right). \tag{4.17}$$

$$\frac{\partial^2 u_2}{\partial z^2} - \frac{1}{k_0 n} \frac{\partial u_2}{\partial t} = \frac{n}{ah} \sum_{n=1}^{\infty} \left(\frac{\partial p_{2,n}}{\partial x} \cos n\omega t + \frac{\partial h_{2,n}}{\partial x} \sin n\omega t \right)$$
 (4.18)

Есля теперь искать решения уравнений (4.17) в виде

$$u_1 = \sum_{n=1}^{\infty} (u_{1,n} \cos n\omega t + u_{1,n} \sin n\omega t),$$

$$u_2 = \sum_{n=1}^{\infty} (u_{2,n} \cos n\omega t = u_{2,n} \sin n\omega t).$$

и обозначить

$$u_{1,n} + \iota u_{1,n} = F_n, \quad u_{2,n} + \iota u_{2,n} = J_n,$$
 (4.19)

тогда из (4.17) получим следующие уравнения для определения последвих функций

$$z \leq h \quad \frac{\partial}{\partial z} \left(z \frac{\partial F_n}{\partial z} \right) + \frac{i n \omega}{k_0} \quad F_n = \frac{\lambda}{k_0} \left(p_{1, n} + i p_{1, n}^{\prime} \right)_{x_0}$$

$$z > h \quad \frac{\partial^2 f_n}{\partial z^2} + \frac{i n \omega}{k_0 n} f_n = \frac{\lambda}{k_0 h} \left(p_{2, n} + i p_{2, n}^{\prime} \right)_{x_0}. \tag{4.20}$$

Нидекс х означает производную по х. Граничные условия имеют вид

1. При
$$z = z_0 \quad F_n = 0$$
,

2. При
$$z = h$$
 $F_n = f_n$ и $\frac{\partial F_n}{\partial z} = \frac{\partial f_n}{\partial z}$. (4.21)

3. Then
$$z=\infty$$
 $f_n=0$.

Уравнения (4.20) неоднородные. Соответствующие однородные уравнения совпадают с (4.8) и (4.9) и имеют решения (4.10). Если искать частные решения (4.21) в том же виде (4.10), пользуясь методом вариации постоянных, легко получить общие решения неоднородных уравнений (4.20) в виде

$$F_{n} = c_{5,n} I_{0} (\beta_{n}) I_{0} + c_{6,n} H_{0} (\beta_{n}) \overline{iz}) + \frac{2\pi \lambda \sqrt{i}}{\kappa} \left[\frac{\partial c_{1}}{\partial x} S_{1}(z) - \frac{\partial c_{2}}{\partial x} S_{2}(z) \right] + \left[c_{2,n} + \frac{(z-h)}{2} \frac{\partial c_{2}}{\partial x} \right] e^{-ikx}$$

$$(4.22)$$

В предыдущем решении использовано (4.15) в правых частях уравиений (4.20) и, кроме того, обозначено

$$S_{1}(z) = I_{0}(\beta_{n}||z|) \int_{h} H_{0}I_{1} ||z| dz - H_{0}(\beta_{n}||z|) \int_{h}^{z} H_{0}H_{1}||z| dz.$$

$$S_{2}(z) = I_{0}(\beta_{n}||z|) \int_{h} I_{1}||z| dz - H_{0}(\beta_{n}||z|) \int_{h} I_{0}H_{1}||z| dz. \tag{4.2}$$

 $c_{i,n}$ (i=1, 2, 3, 4) определяются по (4.13). Для определения $c_{i,n}$ (i=5, 6, 7, 8) воспользуемся условиями (4.21).

Если вернуться к обозначениям (4.12) и ввести новые

$$J_{1}(z) = \int_{R} H_{0} I_{1} + z dz; \quad dz; \quad J_{H}(z) = \int_{R} H_{1} V z dz;$$

$$J_{IM}(z) = \int_{R} I_{0} I_{1} + z dz; \quad J_{IV}(z) = \int_{R} I_{0} H_{1} V z dz; \quad (4.24)$$

и кроме того, обозначить

$$f_{1,nx}(\varsigma_0) = \frac{2\pi i \sqrt{-i}}{k_0 \varphi_n} I_0(\varsigma_0) \left[\frac{\partial c_{1,n}}{\partial x} J_I(\varsigma_0) + \frac{\partial c_{1,n}}{\partial x} J_{II}(\varsigma_0) \right]$$

$$f_{2,nx}(\varsigma_h) = H_1(\varsigma_h) f_{3,n}(\varsigma_h),$$

$$f_{3,nx}(\varsigma_h) = H_1(\varsigma_h) f_{1,n}(\varsigma_h) + \frac{i(1+i)}{4n\omega_n} \frac{\partial c_{1,n}}{\partial x}$$

$$f_{4,nx}(\varsigma_h) = -\frac{2\pi i}{h} \left[\frac{\partial}{\partial x} J_{III}(\varsigma_h) + \frac{\partial}{\partial x} J_{IV}(\varsigma_h) \right]$$

$$(4.25)$$

то для коэффициентов $c_{i,n}$, зависящих от (x, y), получим

$$= D_{n} \begin{vmatrix} H_{0}(\zeta_{0}) & I_{1,nx}(\zeta_{0}) \\ H_{0}(\zeta_{h}) & I_{1,nx}(\zeta_{h}) - I f_{3,nx}(\zeta_{h}) \end{vmatrix}$$

$$= D_{n} \begin{vmatrix} I_{1,nx}(\zeta_{n}) & I_{n}(\zeta_{0}) \\ I_{1,nx}(\zeta_{n}) & I_{n}(\zeta_{0}) \\ I_{1,nx}(\zeta_{h}) & I_{0}(\zeta_{h}) - I f_{1}(\zeta_{h}) \end{vmatrix}$$

$$= 0,$$

$$c_{S,n} = c_{S,n} I_{0}(\zeta_{h}) + c_{S,n} H_{0}(\zeta_{h}) + f_{2,nx}(\zeta_{h}).$$

$$(4.26)$$

Здесь также индекс x означает дифференцирование по x. Уравнения для определения v_1 и v_2 , как указано выше, имеют точно такой же вид, как и (4.17), только вместо производных по x в правых частях войдут производные по y. Если искать решения (4.18) в виде

$$v_i = \sum_{n=1}^{\infty} (v_{i,n} \cos n\omega t + v_{i,n} \sin n\omega t) \quad (i = 1, 2),$$
 (4.27)

и обозначить

$$v_{1,n} + i v_{1,n} = F_n, \quad v_{2,n} + i v_{2,n} = f_n.$$
 (4.28)

а также воспользоваться граничными условнями (4.21), получим

$$H_n = c_{5,n} I_1(\beta_n V(z)) + c_{5,n} H_1(\beta_n V(z)) + \frac{2\pi k V(z)}{k_0 \beta_n} \left| \frac{\partial c_{1,n}}{\partial y} S_1(z) \right| + \frac{\partial c_{2,n}}{\partial y} S_2(z)$$

$$f_n = c_{7,n} \qquad + \left[\begin{array}{c} -\frac{1}{2k_0 h} \frac{\partial c_{4,n}}{\partial y} \end{array} \right] \tag{4.29}$$

Если теперь вместо (4.25) ввести в точности те же выражения, но продифференцировать их но у, то для коэффициентов $c_{l,n}$ получии выражения, в точности имеющий вид (4.26). Перейдем теперь к определению вертикальной скорости. Для этого следует исходить из уравнений (4.5) и (4.5') и решений (4.22), (4.29). В результате получим

$$x_1 = -\int \sum_{n=1}^{\infty} \left[\left(\frac{\partial u_{1,n}}{\partial x} + \frac{\partial v_{1,n}}{\partial y} \right) \cos n\omega t + \left(\frac{\partial u_{1,n}}{\partial x} - \frac{\partial v_{1,n}}{\partial y} \right) \sin n\omega t \right] dz, \tag{4.30}$$

$$w_2 = -\int \sum \left[\left(\frac{\partial u_{2,n}}{\partial x} + \frac{\partial v_{2,n}}{\partial y} \right) \cos n\omega t + \left(\frac{\partial u_{2,n}}{\partial x} + \frac{\partial v_{2,n}}{\partial y} \right) \sin n\omega t + \cdots \right]$$

Как показывает (4.30) условие $w_1 = 0$ удовлетворяется при $z = z_0$. Удовлетворяется также одно на условий на контакте, при z = h. $\partial w_1/\partial z = \partial w_2/\partial z$. Остается лишь удовлетворить условию $w_1 = w_2$ при z = h. откуда и будет определяться c_0 .

Обозначим

$$m_{n}(x, y, z) = -\int_{z}^{z} \left(\frac{\partial u_{1,n}}{\partial x} + \frac{\partial v_{1,n}}{\partial y}\right) dz; r_{n}(x, y, z) = -\int_{z}^{z} \left(\frac{\partial u_{1,n}}{\partial x} + \frac{\partial v_{1,n}}{\partial y}\right) dz;$$

$$m_{n}(x, y, z) = -\int_{z}^{z} \left(\frac{\partial u_{2,n}}{\partial x} + \frac{\partial v_{2,n}}{\partial y}\right) dz; r_{n}(x, y, z) = -\int_{z}^{z} \left(\frac{\partial u_{1,n}}{\partial x} + \frac{\partial v_{2,n}}{\partial y}\right) dz.$$

$$(4.31)$$

Подставляя сюда (4.19) и (4.28), легко получим

$$m_n + ir_n = -\frac{\partial}{\partial x} \int_0^z F_n(x, y, z) dz - \frac{\partial}{\partial y} \int_0^z F_n(x, y, z) dz.$$

$$\bar{m}_n - ir_n = -\frac{\partial}{\partial x} \int_0^z I_n(x, y, z) dz - \frac{\partial}{\partial y} \int_0^z I_n(x, y, z) dz. \tag{4.32}$$

Подставляя сюда соответствующие решения и выполняя квадратуры, волучим

$$m_n + i r_n = -I_1(z) \left(\frac{\partial c_{5,n}}{\partial x} + \frac{\partial c_{5,n}}{\partial y} \right) - \overline{H}_1(z) \left(\frac{\partial c_{6,n}}{\partial x} + \frac{\partial c_{6,n}}{\partial y} \right) - \frac{2\pi i \sqrt{i}}{\kappa_0 \tilde{J}_n} \left[S_1(z) \Delta c_{1,n} + \overline{S}_2(z) \Delta c_{2,n} \right]. \tag{4.33}$$

$$m_{n+1} i r_{n} = \left[\frac{1}{k_{n}} \left(\frac{\partial c}{\partial x} - \frac{\partial c}{\partial y} \right) + \frac{i h}{2n \omega} \frac{1 + k_{n}(z - h)}{k_{n}^{2}} \Delta c_{4,n} \right] e^{-(z - h)}$$
(4.34)

$$I_{1}(z) = \int_{z_{n}}^{z} I_{n}(z) V(iz) dz, \widetilde{II}_{1}(z) \int_{z_{n}}^{z} II_{n}(\beta_{n}) V(iz) dz, \qquad (4.34')$$

$$\overline{S}_1(z) = I_1 \otimes_{\mathbb{Z}} I_2 \otimes_{\mathbb{Z}} I_1 \otimes_{\mathbb{Z}} I_2 \otimes_{\mathbb{Z}} I_1 \otimes_{\mathbb{Z}} I_2 \otimes_{\mathbb{Z}} I_2$$

$$S_{2}(z) = I_{1}(\beta_{n}\sqrt{iz})J_{H}(z) - H_{1}(\beta_{n})\overline{iz}J_{IV}(z).$$

 I_1 (2), \overline{H}_1 (2) решаются в конечном виде.

Представляя неизвестное c_0 из (4.30) в виде

$$c_0(x, y, t) = \sum_{n=0}^{\infty} [c_{0,n}(x, y) \cos n + c_{0,n}(x, y) \sin n\omega t],$$
 (4.35)

получим

$$=\sum_{n=1}^{\infty}(m_n\cos n\omega t-r_n\sin n\omega t),$$

$$= \sum_{n=1}^{\infty} \left[(m_n + c_{0,n}) \cos n\omega t - (r_n + c_{0,n}) \sin n\omega t \right], \tag{4.36}$$

причем m_n, r_n, m_n, r_n определяется из (4.33) и (4.35), а c_0 и c_0 и до условия

$$= \frac{1}{1} i c_{0,n} + (m_n + i r_n) - (m_n + i r_n)$$
 (4.37)

Как показывает (4.34) $m_n=r_n=0$ при $z\to\infty$ и второе выражение из (4.36) получит вид

$$w_{2,-} = \sum_{n=1}^{\infty} (c_{0,n} \cos n\omega t + c_{0,n} \sin n\omega t). \tag{4.38}$$

Отсюда становится ясным физический смысл постоянной c_0 , так как из (4.35) и (4.38) имеем

$$c_0 = w_2 \text{ nph } z \rightarrow \infty$$
.

Таким образом, решение в этом случае выражается формулами (4.7) (4.10) для температуры. (4.15) и (4.16)—для давления, (4.18) и (4.22) (4.27) в (4.29) для горизонтальных скоростей, (4.36), (4.33) и (4.34) для вертикальной скорости.

Случай, с учетом ускорения Кориолися с переменными коэффициентами перемещивания по высоте связан с громоздкими выкладками и здесь не приводится.

Институт водных проблем АН Армянской ССР

Hoerymnao 3VI.62 r.

B. U. Wabbillesila

ՍԵՎԱՆԱ ԼՃԻ ԱՎԱԶԱՆԻ ԲՐԻԶՆԵՐԻ ԾԱՍԻՆ ԵՎ ՄԱԾՍՈՒՅԵՐԻ ՁԵՐՄԱՍՏԻՃԱՆԻ ԻՐԱԿԱՆ ԲԱՅԵՄԱՆ ՄԻՋՈՅԵՎ ՆՐԱՆՑ ՀԱՇՎՄԱՆ ՄԻ ՔԱՆԻ ԱՐԳՅՈՒՆՔՆԵՐ

(Հաղորդում 1)

Unfinehood

Սևանա թեր չիդրոադերևա արանական և հասապատակ քանա,
ժիմ առաջին հայադոտողն արանական աշան աշագրություն զարձբել բորդայա արացած։ 19ո5—60 թթ. Լրապեդիցիոն աշխատան ընկը
21) Տնարավորա կուն այր հարդը ըննաթիլան առնել լրացայի կերպալ նոր ավյալների իսան կառ ստանալ մի այր արդյան ընկը, որոնը
արադրված են այս և չատրդ (չաղորդում 11)

հերթիւ ժամանակներս առաջ է թացվում դոլութիա մաս կրճատման պրորվեմը հատուկ միամոլեկուլյար (ժաղանիների միջոցով ին), որի լուծումը պուհանջում է ժանրակրկիտ կերպով հետադրան օրամրաբների և լճերի թամու ռեժիմը. Տատկապես անհրաժեչտ է ուսումնասիրել տեղական ըաժիները։

Հոդվածում ընթվում է թրիդային ցիրկույլացիայի խնդրի լուծումը, հլնելով հիդրոջերմագինամիկոլի գծալնացրած հավասարանների (1.16)—(1.21) սիստեմից, (1.22) սահմանային պուլմանների դեպքյում։ Դիտարկված են հետևյալ դեպքսերը։

Նախ դիտարկված է այն դեպքը, հրր ուղղածիղ տուրբուլենտականության դործակիցը հաստատուն է, իսկ կորիոլիսի արադացումը բացակայում է։ Այդ դեպքում հավասարումների սիստեմն ունի (2.1) (2.4) տեսքը։ Եխե սահմանային պայմանները ներկայացվեն (2.5) տեսքով, ապա լուծումն ստացվում է (2.8), (2.9), (2.18) և (2.19) տեսքով։ Հաջորդ պարադրաֆում դիտարկված է նույն դեպքը, հաշվի առնելով նաև կորիոլիսի արադացումը, լա_ ծունն ստացվում է (2.8), (2.9), (3.10) -(3.12) տեսքով։

Այն դեպքում, երը ուղղաձիդ տուրյուրենտականություն գործակիցը դըծային ֆունկցիա է բարձրություն մինչև նրա որոշ արժեքը, այնուհետև՝ հաստատուն, այսինքն ունի (4.1) տեսքը, հավասարուժենքի սիստեժն ունենում է (4.2)—(4.5) տեսքը առաջին շերտի և (4.2)—(4.5) տեսքը՝ երկրորդի համար

Սահմանային պայմաններն անևն (4.6) տևորը։

Խնդրի լումումն այս դեպքում նույնպես հնարավոր է լինում հասցնել մինչև վերջ։ Այն ունի (4.7) և (4.10) տևորը ջերմաստիճանի համար. (4.15) և (4.16)՝ ճնչման, (4.18). (4.22). (4.17). (4.22) տրադուքվյան հորիդոնական և (4.36). (4.33), (4.34)՝ ուղղաձից րացագրիչների համար։

Ստացված բանաձևևրը ծնարավորութքյուն են տայիս կատարևլ օրինակների կոնկրետ ծաշիվներ և հետազոտել բրիզային ցիրկույլացիայի հրևույթի որոշ որակական հետևան ընհրը։ Այգ ծարցհրը պարդարանվում են ծաջորդ ծողվածում։

ЛИТЕРАТУРА

- 1. Буз. 1 И. К попросу о плиянии береговой ливни из воздушные течения и распределение осадков. Сб. по региональной синоптике, № 5, 1960.
- Бурман Э. А. К вопросу о распределения пертикальных гоков при бризовых циркузяциях. Тр. ОГМИ, пып. 5, 1953.
- 3. Бурман Э. А. Об основных принципах классификации местных ветров. Тр. ОГМП, вып. 21, 1960.
- 4. Воронцов 17. А. Бризы Цимлянского подохранилица. Тр. ГГО, вып. 54, 1955.
- Воронцов П. А. Некоторые метеорологаческие и аэрологические характеристики морских бризов Перного моря. Тр. ГГО, имв. 63, 1956.
- Воронцов П. А. О бризах Ладожского озгра. Тр. ГГО, вып. 73, 1958.
- 7. Воейков А. И. Морские и береговые бризы. Жури. "Метеорологический вестинк". 6-7, 1914.
- 8. Гутман Л. И. О структуре бризон. Тр. ЦПП, вып. 8, 1948.
- 9. Гутман Л. Н. О вертикальных токах при бризах. Тр. ЦИП, вып. 8, 1948.
- Гутман Л. И. О распределении бризов по нормали к берегу. Жури. "Метеорология и гидрология". № 2, 1949.

- Давидов В. К. Водный блаянс олера Севан. Материалы по исследованию озера Севан, ч. VI, 1938.
- 11а. Егиаза ров И. В. Возможность значительной экономии водных ресурсов для народного хозяйства и одномолекулярная пленка для борьбы с испарением с поверхности водоемов, озер и водохранилищ. Изв. АН АрмССР, сер. ТН, № 3 в 6, 1960 и № 2, 1961.
- 12. Кибель П. Л. Применение к метсорологии уравнений механики бароклинной жидкости. Известия АН СССР (серия Географическая и геофизическая), № 5, 1940-
- 13. Кибель 11. А. Метод решения задачи о локальных ветрах. Доклады ЦПП, т. 1. вып. 1--2, 1947.
- 14. *Лагунскан Л. С.* О бризах Червоморского побережья. Тр. Украинского НИГМИ, нып. 23, 1961.
- Макирова В. С. и Млитарян А. М. Опыты по применению мономолекулярных, пленок в целях сокращения испарения, проведенные на берегу озера Севан-"Известия АН Армянской ССР" (серия ТН), т. XIV, № 3, 1961.
- Марков И. В. и Альбол Н. В. Модель стационарной бризовой виркуляции. Тр. ГГО, вып. 31, 1940.
- 17. Мхитарин Л. М. К теории конвекции большого масштаба. "Павестия АН Армянской ССР» (серия ФМЕТ), т. УШ, № 1, 1955
- Мхитарян А. М. Испарение с поверхности овера Севан. Сб. "Результаты комплекеных исследований по Севанской проблеме", т. І. Ереван. 1961.
- Николаев Н. Г. Ветры в бассейие озера Севан. Материалы по исследованию озера Сезан, п. III. 1933.
- Ситников И. Г. Некоторые результаты гипродинамического исследования бризов. Тр. ЦИП, вып. 93, 1960.
- Тимоферв М. П. (Рез.) Метеорологический режим озера Сенан. Гидрометеонздат, 1960.
- 22. Трубников Б. П. О вертикальных токах при бризе нал плоским берстом. "Известия АН СССР" (сер. Геофизическая), № 2, 1961.
- Arahawa H., Utsugi M. Theoretical investigation of Land-and Sea Breeses. Geoph-Mag., 11, 1937.
- 24. Haurwithz 11. Comments on the Sea-Breese Circulation. The Journ. of meteorol. v. 4. № 1, 1947.
- 25. Jeffreys 11. On the Dynamics of Wind, Quart, Journ. Roy. Met. Soc., 48, 1922.
- Pearce R. P. The calculation of the Sca-Breese Circulation in terms of the differential heating across the coastline, Quart, Journ. of the Roy. Met. Soc., v. 81, Med. 349, 1955, v. 82, Ne 1352, 1956.
- 27. Schmidt F. II. An Elementary Theory of Land and Sea-Breese; Circulation. The Journ, of meteorol, v. 4, & 1, 1947.
- 28. Ryuro Sakadi, Reinvestigation on the Theory of Sea and Land Breese. Proc. Phys. Mat. Soc. of Japan, v. 25, 1943.

Տեխքիկական գիտութ, սևշիա

XV, № 5, 1962

Серия технических ваук

ЭЛЕКТРОЭПЕРГЕТИКА

В. С. ХАЧАТРЯН

МИНИМИЗАЦИЯ ПОТЕРЬ АКТИВНОЙ МОЩНОСТИ В ЭЛЕКТРИЧЕСКИХ СЕТЯХ

В последнее время, в связи с ноявлением современных быстроденствующих цифровых вычислительных машии, стяло возможным
изучение наивыгоднейших режимов сложных энергосистем с учетом
нотерь активной мощности в сетях. Однако, для решения вопроса
возникла необходимость разработки методики определения собственных и взаимных сопротивлений элекгрических ценей, методику определения потерь активной мощности в сетях и т. д. [1, 3]. Одной из
проблем энергосистемы, связанной с экономичным режимом, является вопрос минимизации потерь активной мощности в сетях.

В статье предлагается математический способ решения минимизации потерь активной мошности, применимый для энергосистем любой сложности. Вопрос анализа потерь в сетях необходим при вводе новых генерирующих станций в энергосистеме и выборе для иих оптимального местоположения. Минимизацию потерь необходимо рассмотреть с экономической точки зрения. В основе предлагаемого метода минимизации потерь активной мощности в сетях эпергосистемы лежит формулы потерь. Как известно, в формуле котерь фигурируют так называемые сетевые коэффициенты В при которые в общем случае являются сложной функцией от всех генерируемых активных в реактивных мощностей и соответствующих комплексных напряжевий при неизменной конфигурации данной энергосистемы [2, 3]. Исследования сетевых коэффициентов B_{mn} показяло, что они, строго говоря, величины не постоянные. Однако отметим, что изменение этих коэффициентов настолько незначительно, что при решении виженерных задач можно их принять постоянными [3]. Таким образом, сликственным допущением, которое здесь принимается, является прииятие коэффициентов B_{mn} в качестве постоянных величин. Надо отметить, что при изменении конфигурации данной энергосистемы, сетеные коэффициенты $B_{m\pi}$ резко изменяются (вследствие изменения сибственных и взаимных сопротивлений); в этом случае возникает необходимость их пересчета. В рассматриваемом методе задаются: энергосистема с необходимыми параметрами; суммарный график нагрузки активной мощности; сетевые коэффициенты B_{mq} данной энергосистемы. По этим данным требуется определить мощности, выдаваемые генераторными станциями в энергосистему, при которых потери в сетях будут минимальными.

Для решения задачи пользуемся формулой потерь, которая имеет следующий вид:

$$\pi = \sum_{m=1}^{\Gamma} \sum_{n=1}^{\Gamma} P_m \ B_{mn} \ P_n, \tag{1}$$

гле двойное суммирование по "m" и "м" распространяется на все генерирующие станции;

 B_{mn} — сетевые коэффициенты, или коэффициенты формулы потеры: P_m, P_n — мощности генерирующих станций в узлах m и n;

Г - число электрических станций в энергосистеме.

Формулу (1) удобно представить в следующем виде:

$$= \sum_{m=1}^{\Gamma} P_m B_{mm} + \sum_{m=1}^{\Gamma} \sum_{n=1}^{\Gamma} P_m B_{mn} P_n.$$
 (2)

В выражении (2) члены перного слага мого имеют только положительные знаки, в то время как члены второго слагаемого могут иметь как положительные, так п отрицательные значения. Сумма этих двух слагаемых является положительной величиной, и поэтому первое слагаемое больше, чем второе [3].

В качестве заданного условня (уравнение связи) принимается баланс активных мощностей данной энергосистемы:

$$\sum_{m=1}^{r} P_m - \pi = \sum_{k=1}^{H} P_k, \tag{3}$$

нли

$$\sum_{m=1}^{T} P_m = \left(\sum_{m=1}^{\Gamma} P_m^2 B_{mm} + \sum_{m=1}^{\Gamma} \sum_{n=1}^{\Gamma} P_m B_{mn} P_n\right) = \sum_{k=1}^{R} P_k, \quad (4)$$

где K=1, 2, 3 - - нидексы нагрузочных узлов энергосистемы. H — число нагрузок в энергосистеме.

Магиматически решение задачи сводится к определению минимума функции (2) при задачном условии (4).

Используя лагранжевый миожитель à запишем выражение исходной функции:

$$U = \sum_{m=1}^{\Gamma} P_{m}^{2} B_{mm} + \sum_{\substack{m=1 \ m \neq n}}^{\Gamma} \sum_{n=1}^{\Gamma} P_{m} B_{mn} P_{n+1} \sum_{m=1}^{\Gamma} P_{m} = \left(\sum_{m=1}^{\Gamma} P_{m}^{2} B_{mm} + \sum_{m=1}^$$

$$+\sum_{m=1}^{\Gamma}\sum_{n=1}^{\Gamma}P_{m}B_{mn}P_{n}$$

или

$$U = (1 - \lambda) \left(\sum_{m=1}^{\Gamma} F_m^2 B_{mm} + \sum_{m=1}^{\Gamma} \sum_{n=1}^{\Gamma} P_m B_{mn} P_n \right) + \lambda \sum_{m=1}^{\Gamma} P_m . \tag{6}$$

Минимум функции (6) определяется из условия

$$\frac{\partial U}{\partial P_{--}} = 0 \,, \tag{7}$$

HITH

$$\frac{\partial U}{\partial P_m} = 2 \left(1 - \left(P_m B_{mm} + \sum_{n=0}^{r} B_{mn} P_n \right) - = 0.$$
 (8)

Уравнение (8) эквивалентно следующей системе уровнений

$$\frac{\partial U}{\partial P_n} = 2\left(1 - \lambda \left(P_n B_{n} + \sum_{n=2}^{\Gamma} B_{1n} P_n\right) + \lambda = 0,$$

$$\vdots$$

$$\frac{\partial U}{\partial P_r} = 2\left(1 - \lambda \left(P_1 B_{1r} + \sum_{n=1}^{\Gamma} B_{rn} P_n\right) + \lambda = 0.$$
(9)

Здесь число неизвестных на 1 больше числа уравнений (9), поэтому добавляется условие (4).

Решая данную систему уравнений получим искомые значения $P_1, P_2 \cdots P_1$ и множитель Лагранжа ...

Последовательность определения искомых значений мощностей

Требуется решить следующую систему уравнений:

$$(1-\beta)\left(P_{1}B_{11}+\sum_{n=2}^{r}B_{1n}P_{n}\right)-\gamma\lambda=0$$

$$(1-\beta)\left(P_{1}B_{11}+\sum_{n=1}^{r}B_{1n}P_{n}\right)+\lambda=0$$

$$\sum_{n=1}^{r}P_{n}+\left(\sum_{m=1}^{r}\sum_{m=1}^{r}P_{m}B_{mn}P_{n}\right)=\sum_{k=1}^{H}P_{k}.$$

$$(10)$$

Здесь $\sum_{n=1}^{H} P_n = P_1 + P_2 + \dots + P_H$ выбирается из суммарного графи-

ка нагрузки активной мощности и при решении системы уравнений (10) остается постоянным. При изменении рассматриваемого режима

соответствующим образом изменяется и $\sum_{k=1}^{H} P_k$ Однако, для данного

режима она постоянная величина.

Исключая множители и из системы уравнений (10), получим систему уравнений:

$$P_{\Gamma = 1}B_{(\Gamma = 1)} = \sum_{n=1}^{\Gamma} B_{n}P_{n} + \sum_{n=1}^{\Gamma} B_{2n}P_{n}$$

$$P_{\Gamma = 1}B_{(\Gamma = 1)} = \sum_{n=1}^{\Gamma} B_{1\Gamma = 1}P_{n}P_{n} = P_{\Gamma}B_{\Gamma\Gamma} + \sum_{n=1}^{\Gamma} P_{1n}P_{n}$$

$$\sum_{m=1}^{\Gamma} P_{m} = \left(\sum_{m=1}^{\Gamma} P_{m}B_{mm} - \sum_{m=1}^{\Gamma} \sum_{n=1}^{\Gamma} P_{m}B_{mn}P_{n}\right) = \sum_{k=1}^{H} P_{k};$$
(11)

В развернутом виде (11) представляется в виде системы алгебранческих уравнений с постоянными коэффициентами.

$$a_{11}P_{1} - a_{12}P_{2} - \dots - a_{11}P_{1} = 0,$$

$$a_{21}P_{1} + a_{22}P_{2} - \dots + a_{21}P_{1} = 0,$$

$$a_{11}P_{1} + a_{22}P_{2} - \dots + a_{21}P_{2} = 0,$$

$$a_{11}P_{1} + a_{22}P_{2} - \dots - a_{21}P_{2} = 0.$$
(12)

$$\sum_{m=1}^{\Gamma} P_m - \left(\sum_{m=1}^{\Gamma} P_m^2 B_{mm} + \sum_{m=1}^{\Gamma} \sum_{n=1}^{\Gamma} P_m B_{mn} P_n\right) = \sum_{k=1}^{H} P_k. \quad (12a).$$

Здесь

$$a_{1n} = B_{1n} - B_{2n}$$

$$a_{1n} = B_{2n} - B_{1n}$$

$$\vdots$$

$$a_{(n-1)n} = B_{1n-1} - B_{n}$$
(18)

Для определения коэффициентов $a_{(m-1)n}$ необходимо составить матрицу сетевых коэффициентов B_{mn} :

Исходя из матрицы (14), определяем матрицу коэффициентов $a_{(m-1)n}$ $(m=1, 2, 3 \cdots \Gamma; n=1, 2, 3 \cdots \Gamma)$

Далее составляется линейное матричное уравнение:

$$\begin{vmatrix} a_{11} & a_{12} & \cdots & a_{31} \\ a_{21} & a_{22} & \cdots & a_{2\Gamma} \\ \vdots & \vdots & \ddots & \vdots \\ a_{(\Gamma-1)1} & a_{(\Gamma-1)2} & \cdots & a_{(\Gamma-1)\sigma} \end{vmatrix} \times \begin{vmatrix} P_1 \\ P_{\Gamma-1} \\ P_{\Gamma} \end{vmatrix}$$

Таким образом, для определения искомых значений P_1 : $P_2 \cdots P_4$ необходимо решить матричное линейное уравнение (16) совместно с нелинейным уравнением (12a).

Выражая все неизвестные матричного уравнения (16) через одно неизвестное, например через P_1 , получим:

$$P_{1} = \frac{\Delta_{1}}{\Delta} P_{\Gamma}; P_{e} = \frac{\Delta_{2}}{\Delta} P_{\Gamma}, \dots P_{(\Gamma-1)} = \frac{\Delta_{-1}}{\Delta} P_{\Gamma},$$

$$A = \begin{bmatrix} a_{11} & a_{12} & \dots & a_{1+\Gamma-1} \\ a_{21} & \dots & a_{2+\Gamma-1} \\ a_{(\Gamma-1)1} & a_{(\Gamma-1)2} \dots & a_{(\Gamma-1)(\Gamma-1)} \end{bmatrix}$$
(17)

и является определителем данной матрицы.

где

 $\Delta_1, \ \Delta_2, \cdots , \Delta_{l-1}$ получается из матрицы коэффициентов (15).

После подстановки значений $P_1, P_2, \cdots P_{\Gamma-1}$ из выражения (17) в (12a) получается полное квадратное уравнение

$$AP_{\Gamma}^{2} + BP_{\Gamma} + C = 0, \tag{19}$$

где

$$A = \frac{\sum_{i=1}^{r-1} \sum_{n=1}^{r-1} \Delta_{m} B_{mn} \Delta_{n}}{\sum_{i=1}^{r-1} \Delta_{m} B_{mr}} = \frac{\sum_{i=1}^{r-1} \Delta_{m} B_{mr}}{\sum_{i=1}^{r-1} \Delta_{m} B_{mr}} = B_{fr}$$

$$B = -\left(\frac{\sum_{m=1}^{\Gamma-1} \Delta_m}{\Delta} + 1\right) \tag{21}$$

$$C = \sum_{k=1}^{H} P_k : \qquad (22)$$

Так как генераториая мощность $P_1 > 0$, то в (19) надо удержать соответствующий корень. После определения значения P_1 не трудно определить остальные искомые величины P_1 ; $P_2 \cdot \cdot \cdot \cdot \cdot P_{T-1}$ из выражения (17).

Применительно к формуле (2) формула Тейлора принимает следующий вид:

$$\Delta \pi = d\pi + \frac{1}{2!} d^2\pi + \cdots + \frac{1}{(n-1)!} d^{n-1}\pi + \left[\frac{d^n\pi}{n!}\right]_1$$
 (23)

где

$$\Delta \pi = \pi - \pi'; \tag{23a}$$

$$\pi = \pi (P_1, P_2; \cdots P_\Gamma); \tag{24}$$

$$\pi' = \pi' \ (P_1 + dP_1, P_2 + dP_2, P_1 + dP_1);$$
 (25)

Так как рассматриваемая функция содержит неизвестное во второй степени, дифференциалы выше второго порядка тождественно равны нулю. Поэтому

$$\Delta = -\frac{1}{21} d^2 \pi; \tag{26}$$

Достаточным условием минимума функции (2) является условие

$$d^2 = >0 \tag{27}$$

Для доказательства неравенства (27) необходимо получить цифровое значение $d^2\pi$.

Из уравнения (2) имеем:

$$d\pi = \frac{\partial \pi}{\partial P_1} dP_1 + \frac{\partial \pi}{\partial P_2} dP_2 + \dots + \frac{\partial \pi}{\partial P_{\Gamma}} dP_{\Gamma}; \tag{28}$$

Дифференцируя получим

$$d^{2}\pi = \frac{\partial}{\partial P_{1}} (d\pi) dP_{1} + \frac{\partial}{\partial P_{2}} (d\pi) dP_{2} - \cdots + \frac{\partial}{\partial P_{\Gamma}} (d\pi) dP_{\Gamma}.$$
 (29)

С другой стороны:

$$\frac{\partial^{-}}{\partial P_{1}} = 2P_{1}B_{11} + 2\sum_{\substack{n=2\\ n \neq 2}}^{\Gamma} B_{1n}P_{n},$$

$$\frac{\partial^{2}}{\partial P} = 2P_{2}B_{23} + 2\sum_{n=1}^{P} B_{2n} P_{n},$$

$$\frac{\partial^{-}}{\partial P_{\Gamma}} = 2P_{\Gamma}B_{\Gamma\Gamma} + 2\sum_{\substack{n=1\\n=1}}^{\Gamma} B_{\Gamma n}P_{n}. \tag{30}$$

Следовательно

$$d\tau = (2P_1B_{11} + 2\sum_{n=2}^{\Gamma} B_{1n}P_n) dP_1 + (2P_2B_{22} + 2\sum_{n=1}^{\Gamma} B_{2n}P_n)dP_2 + \frac{1}{n+2}$$

 $+ \cdots + (2P_{\Gamma}B_{\Gamma\Gamma} + 2\sum_{n=1}^{1} B_{\Gamma n} P_{n})dP_{\epsilon}.$ (31)

Кроме того имеем

 $\frac{\partial}{\partial P_r} (d\pi) = 2B_{1\Gamma} dP_1 + 2B_{2\Gamma} dP_2 + \cdots + 2B_{\Gamma\Gamma} dP_{\Gamma};$

В силу (29) и (32) получим

$$\mathbf{d}^{p-} = 2 \left[\sum_{m=1}^{\Gamma} B_{mm} (dP_m)^2 + 2 \sum_{m=1}^{\Gamma} \sum_{n=1}^{\Gamma} B_{mn} (dP_m) (dP_n) \right] : (33)$$

Заесь коэффициенты B_{mm} имеют всегда положительный знак и

следовательно: $\sum_{m=1}^{r} B_{mm} (dP_m)^2 > 0$

Коэффициенты B_{mn} могут иметь как положительные, так и отрица-

тельные, знаки, поэтому $\sum_{\substack{m=1 \ n=1}}^{\Gamma} \sum_{n=1}^{\Gamma} B_{mn} \left(dP_m \right) \left(dP_n \right)$ может иметь как

положительный, так и отрицательный знак. В виду того, что $B_{mn} \gg B_{mn}$, [3], имеем

$$\sum_{m=1}^{\Gamma} B_{min} (dP_m)^2 > 2 \sum_{m=1}^{\Gamma} \sum_{n=1}^{\Gamma} B_{min} (dP_m) (pP_n);$$
(34)

Таким образом, доказано, что лолученные из необходимого условия (d=0), значения $P_1, P_2 \cdots P_n$ соответствуют минимуму потеры в сетях энергосистемы.

Учет влияния ограниченности мощностей электрических станций

Приведенное нами уравнение связи (4) не учитывает ограниченности генерируемых моздностей в отдельных электрических станциях. При этом возможно, что полученное решение физически будет нереальным, следовательно, при решении задачи нужно учесть условия

$$0 < P_m < P_{m \text{ (Marc.)}}, \tag{35}$$

где P_m — искомая величина генерируемой мощности m-ой станции; $P_{m \text{ (макс.)}}$ — максимальная возможная генерируемая мощность m-ой станции ($m=1,\ 2,\ 3\cdots\Gamma$).

В общем случае задача решается в следующей последовательности. Определяется минимум функции (2) при наличии уравнения связи (4) и условии (35). Если после нахождения искомых значений P_m ($m=1,\ 2\cdots\Gamma$) окажется, что $P_i>P_{i_{\text{макс.}}}$, (P_i найденная мощность i-ой станции, а $P_{i_{\text{макс.}}}$ максимально возможная мошность той же станции), то в уравнениях (12) и (12а) следует вместо P_i подставить $P_{i_{\text{макс.}}}$ и из системы (12) исключить i-ое уравнение.

Затем, для нахождения значений остальных переменных (генерируемые мощности станции) необходимо полученную новую систему уравнений (12) решить совмество с уравнениями (12a).

Заключение

Задача определения минимума потерь активной мощности в сетях энергосистемы сводится к решению системы линейных и нелинейных алгебраических уравнений. Порядок данной системы уравнений зависит от числа генерирующих станций. Следовательно, при большом количестве генераторных станций, решение полученной системы уравнений уже невозможно без современных быстродействующих цифровых машин. Кроме того, цифровая вычислительная машина обеспечивает большую точность, которая необходима при рассмотрении данного

вопроса. Так как в данной методике используются сетевые коэффициенты, то необходимо заранее вычислить числовые значения этих коэффициентов для исследуемой энергосистемы.

Ивститут эпергетики АН Арминской ССР

Поступило 14. 2 1962

A II WILLIAMSPRILL

Ե<mark>ԼԵԿՏՐԱԿ</mark>ԱՆ ՑԱՆՑԵՐՈՒՄ ԱԿՏԻՎ ՀԶՈՐՈՒԹՅԱՆ ԿՈՐՈՒՍՏՒ ՄԻՆԻՄՈՒՄԻ ՈՐՈՇՈՒՄԸ

ծամանակակից արաղ դործող ծաշվիչ մերենաները ծնարավորություն են տալիս լածելա էներդոսիստեմ հետ կապված այնպիսի բարդ ինդիբներ, ինչպես որինակ էկոնոմիկական ռեժիների հաշվումը, էլնկարական ցանցերում ակտիվ հղորաժրան կորուստների հաշվումը, սեփական և փոխադարձ դիմալրաժլանների որոշամբ և ալլն։ Այդ տեսակետից կարևոր է նաև էներդուսիստեմի ցանցերում առաջացող ակտիվ հղորաժլան կորուստները մինիմամի բերման հարցը, որը և արձարծված է ավյալ հոդվածում։ Հոդվածում արձարծված է ակտիվ հղորավածում։ Հոդվածում արձարծված է ակտիվ հղորավան կորուստի բանաձեր (1), որն արտահայակում է ավյալ էներդոսիստեմը բնաժագրող ցանցային թատ դործակյով և էլնկարական կարանների թա և թ հղորավաններով։ Հետևապետ ակտ, ավյալ ժեժողից օդավելու համար նախօրոք պետք է հաշվել ցանցային հրա դործակիցները, որոնց հետ կատարված հետաղոտություններով։ Հետևատվան, որ նրանք փոփոխվամ ևն տարրեր ունժիների ժամանակ ոչ մեծ ումաժաններում, ալնպես որ պրակտիկորեն կարելի է ընդունել որպես հասատուն։

Հետարա ժախնենտանկական ձևադեռիսությունների ժամանակ ընդունված է, որ ցանցային B_{ուս} գործակիցները չեն փոփոխվում տարրեր ռեժիքների ժամանակ։

Սա հանդիսանում է միակ ենքժադրությունը ավյալ մեթյուր մետ Բալց պետր է նշել, որ ցանցային B_{ուս} դործակիցները կարևլի է հաշվել լուրադանչլուր տեժիմի համար և այն չընդունել որպես անփոփոխ բոլոր սեժիմների դեպրում։

երդ դեպրում վերհում կատարվուծ ենքմադրությունը վերանում է, բայց սեծանում է հաշվման ծավուրը Տվլալ մեկնոդից օգտվերու ժումանակ, բացի դանցալին դործակիցներից, պետք է իմանուլ նաև տվյալ սիստեմի դումա-րային ակտիվ Տղորության օրվա դրաֆիկը և սիստեմում արտադրված Տղո-րա թելան նախնական րաշխվածությունը էլեկտրական կայանների միջե։

Հոդվածում արտածված մեքժողը հնարտվորութքյուն է տայիս սիստեմում դործող հղորութքյունը վերաբաշխել էլեկարական կայանների միջև այնպես, որ տոաջացած հղորութքյան կորուսար լինի մինիժում։

Ծնղիրը թևըվում է դծային և ոչ դծային հավասարումների սիստեմի, որի լածամը մեծ դանակաթկամբ էլնկարական կալանների առկայության դեպրում դառնում է անձնարին աստնց ժամանակակից հաշվիչ մերինաների։

ЛИТЕРАТУРА

- 1. Маркавич И. М. Режимы энергетических систем. Гоствергомадат, 1957.
- Мельников Н. А. Учет потерь в сети при определении наивыгоднейшего режима эпергосистемы. Жури. "Заектричество". № 2, 1960.
- 3. Хачатрин В. С. Методика расчета позерь и производных от потерь. "Известик АН Арминской ССР" (серия ТН), 28-1, 1962

5ւ խնիկական գիտութ, սեշկա

XV. Ni 5, 1962

Серия технических наук

ГИДРОТЕХНИКА

л. г. петросян

КАВИТАЦИОННЫЙ КРИЗИС РАСХОДА

Наление кавитации, как известно, связано с образованием в жидкости, вблизи к поверхности, под действием разрывающих напряжений пустог, которые заполнены парами жидкости и растворенными газами. Эти пузырьки перемещаются вместе с жидкостью и попядают в область повышенных давлений, и снова быстро смыкаются. Жидкость устремвичтрь пузырей со значительной скоростью и в результате этого происходит явление ударного характера, сопровождающееся большими приращениями местиых давлений (порядка сотей атмосфер) [1]. Пинульсы давления, возникающие при смыкании кавитационных пустот, приводят к разрушению материала. Релей [2] рассчитал силы, возникающие при смыкании сферического газового пузырька в жидмости. Если радиус газового пузырька уменьшается от начального значения $R_{\rm s}$ до значения R в жидкости с гидродинамическим даиленвем $P_{\rm o}$, то скорость σ встречного движения частиц жидкости обратно пропорциональна радиусу R уменьшающегося пузырька. Таким образом, когда $R \to 0$, то $v \to \infty$. Если быстрое движение внезанно прекратится вследствие полного смыкания полости, то сконцентрированная в ничтожно маленьком объеме кинетическая энергия частично в тепловую и частично в энергию сжатия. При этом из денгра сомкнувшейся полости распространится сферическая ударная волиз. Максимальное давление в жидкости возникает на расстоянии r=1,587 R от центра пузырыка [2]

$$P = P_{i} \frac{R}{i^{4} 256 R^{3}} \tag{1}.$$

Для $R_0/R = 20$ и $P_0 = 1$ ат получаем P = 1260 ат.

Это давление возникает в непосредственной близости от поверх-, ности пузырыка, но на самой поверхности оно равно нулю. Если газовый пузырек уменьшается от исходного радиуса $R_{\rm o}$ до радиуса $R_{\rm o}$ то при этом создвется давление

$$P = \sqrt{\frac{2P}{33} \left(\frac{R_0}{R^3} - 1\right)} \tag{2}$$

где 3- ежимаемость жидкости. Для воды ($3=5\cdot 10^{-5}$ am $^{-1}$) при $P_0=1$ am и $R_0/R=20$ получаем P=10300 am.

Время, в течение которого газовый пулырек радиуса R_0 в жизкости с плотностью у при гидростатическом давлении R_0 полностью смыкается, равно

$$t = 0.915 R_0$$
 $\frac{p}{p_0} cek$, (3)

где p_0 — выражено в дин/см². При нормальном давлении для смыкания в воде газового пузырька днаметром 0,1 мм пребуется время 5 мксек. Жидкость, в которой возникла кавитация, характеризуется пониженной проводимостью для звуковых воли, так как на кавитационных пустотах звуковые волны частично отражаются и частично рассенваются. Это явление было наблюдено еще Бойлем и Тейлором [4].

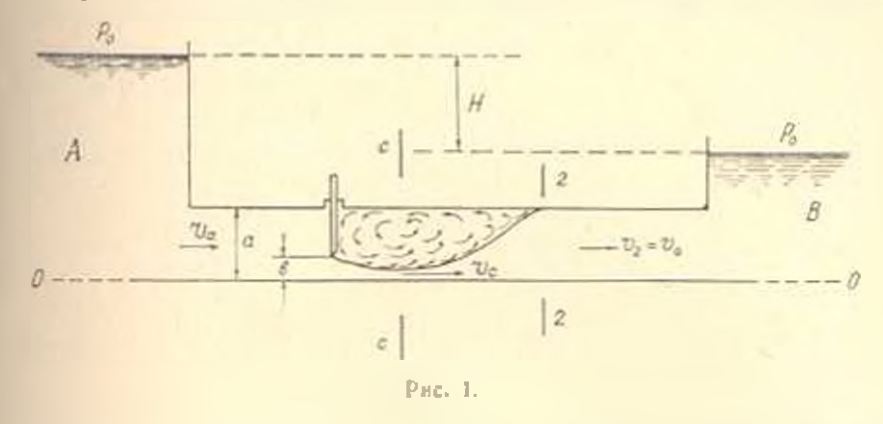
Следует упомянуть еще одно явление, тесно связанное с возникновением кавитации. Речь идет о явления люминесценции при канятации, причиной которого служат электрические разряды в кавитационных полостих. Подобную люминесценцию впервые наблюдали Френцель и Шультес [5]. Авторы объяснили это явление электрическими разрядами типа эффекта Ленарда, происходящими при образовании пузырьков. Свечение хорошо видио невооруженным глазом, адаптированным к темноте.

Константиновым [6] обчаружены элекгрические разряды, ясно видимые в темноте при сильно развитой гидродинамической кавитации. Опыты производились с обычной водопроводной водой. Эти разряды возникают при разрушении нарогазовых пузырьков и области пониженного давления. Вероятной причиной эрозии является чепосредственное действие электрических разрядов и связанных с этим химических процессов. Френкель [7] произвел теоретическое исследование электрических разрядов при кавитации. Он рассчитал электрическое полимежду двумя стенками полости, образующееся в жилкости в результате внезапного разрыва. Теория Френкеля была в дальнейшем развита Натансоном [8]

Изучение кавитации имеет существенное значение для исследования движения тела в воде с большими скоростями, например, при быстром вращении гребных винтов, движении жидкости в турбинах, при вытекании жидкости из сопла в насосах и других гидравлический машинах. В частности, с этим явлением приходится встречаться гидравлических системах самолетов, в напорных трубах гидростаниши водопроводных галереях системы питания судоходных шлюзов. Явление кавитации крайне нежелательно в гидравлических машинах и гидротехнических сооружениях. Ниже рассмотрим условие начали наступления кавитации в гидравлических системах (в трубопроводах) Известно, что при частичном открытии затвора в напорных трубопроводах поток, проходя через суженное затвором сечение, сжимается после чего на некотором расстояния от сжатого сечения снова ширяется, заполняя все сечение трубы. В случае герметического затвором, заполняя все сечение трубы. В случае герметического

вора в сжатом сечении, при определенных условиях задачи, скорость может принимать столь большое значение, что для удовлетворения уравнения Бернулли (с учетом потерь давление в сжатом сечении р должно принимать значение меньше атмосферного. Если уравнение Бернулли (при формальном его использовании) дало нам давление в сжатом сечении μ_c для то это указывало бы на педопустимость его применения без введения добавочного члени, отвечающего особому виду потерь энергин—потерям на кавитацию. Проверка отсутствия кавитационных явлений за затвором сволится к проверке ваствительного давления за ним в суженном сечении потока.

Предположим, что нисем систему водопода, представленную на рис. 1. Мерой местного понижения давления за преградой может служить безризмерный коэффициент понижения χ' , представляющую со-



бой отношение разности величии удельной потенциальной энергии и потоке в сечении, находящемся на эначительном удалении от затвора, в котором поток после предварительного сжатия снова расширяется, ивполняя все сечение $\left(\frac{\rho_2}{\tau}\right)$ и в сжатом сечении, к скоростному

изпору в удаленном сечении $rac{s}{2g}$.

$$\chi' = \frac{\left(x_2 + \frac{\rho_1}{\gamma}\right) - \left(x_2 - \frac{\rho_c}{\gamma}\right)}{v_2^{1/2}g}$$

Коэффициент у при отсутствии кавитационных явлений, по В. М. Маккавееву [9], разен

$$\chi' = 2 \cdot 1 \cdot an \cdot (4)$$

На основании экспериментальных данных Н. В. Халтуриной [10] прадлагается следующая заинсимость для х'

$$\chi' = 1.48 \, \text{V}_{\text{till}} \,, \tag{5}$$

тде коэффициент сопротивлення затвора, который зависит от типа затвора и от степени его открытия. Для определения коэффициента х' нами была получена следующая зависимость [11]*

$$\chi' = 2 \sqrt{\zeta_{c-2}}, \tag{6}$$

где \sim — коэффициент сопротивления на участке между сжатым сечением и сечением полного расширения потока, отнесенный к скорости $v_{\rm o}=v_{\rm o}.$

Известно, что потери энергии в затворе, характеризующиеся коэффициентом потери : в основном происходят в области жидкости за преградой—между стенками и линией расширения струи. Эта область является как бы поглощающей (гасящей). В этом случае в связи с турбулентными перемешиваниями частиц жидкости основного нотока с "мертвой зоной" потери энергии на участке до сжатого сечения значительные. На участке между преградой и сжатым сечением, где поток прололжает суживаться направления скоростей частиц вихревого мешка со скоростью основного потока составляют большие углы, это увеличивает длину пути перемешивания /, что: со своей стороны, увеличивает дополнительное касательное напряжения, происходящее от турбулентности

$$|\tau_{\rm typ6}| = \rho \, l^2 \, \left(\frac{d\upsilon}{dn}\right)^2, \label{eq:typ6}$$

где т -- осредненняя скорость в точке.

Поэтому нельзя пренебрегать потерей, происходящей до сжатого сечения.

Зависимость (6) и отличие от зависимости (4) получена в предположении, что потери в затворе, характеризуемые коэффициентом С_{эн}, рассматриваются не только как потери на внезапное расширение струи от сжатого сечения со скоростью и_с до сечения, где сгруя расширяется полностью, а как сумма потерь, происходящих до сжатого сечения и после него. Причем — рассматривается как потеря на внезапное расширение струи от сжатого сечения до сечения, где струя расширяется полностью*.

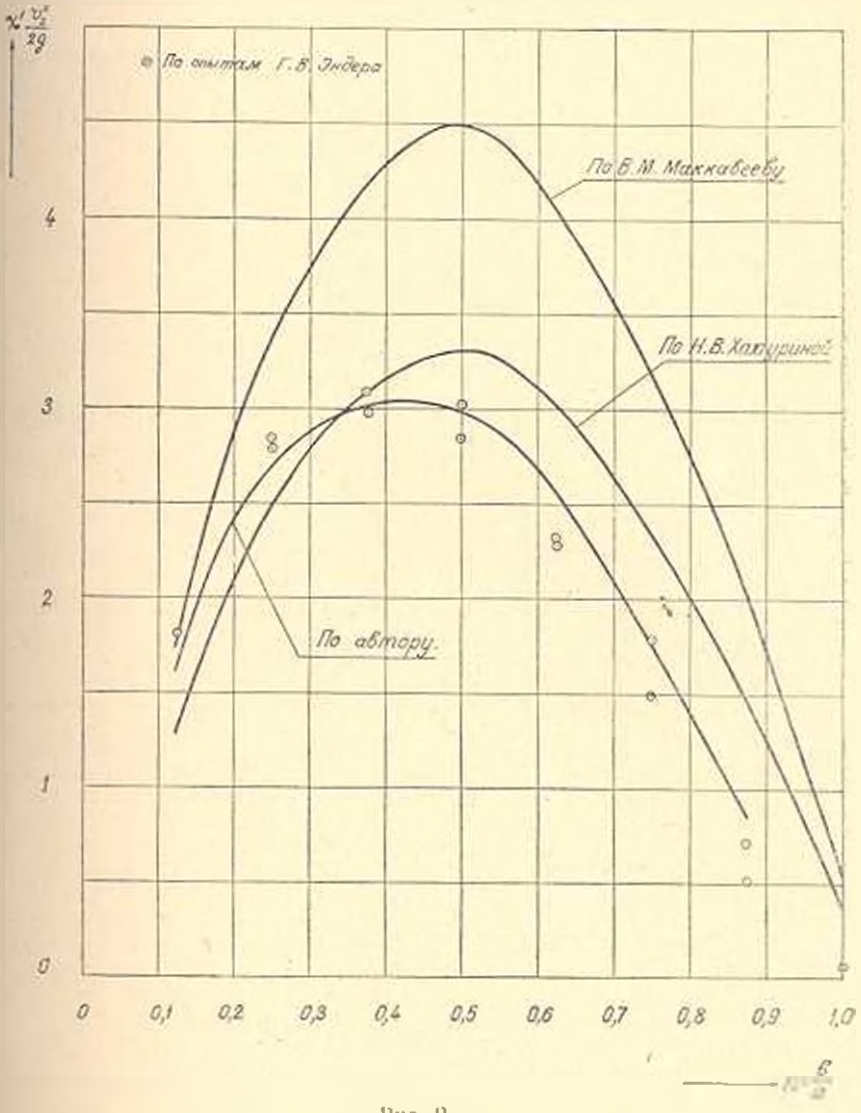
По зависимостям (4). (5) и (6) нами были вычислены величины $\chi' \frac{v_2}{2g}$ при различных степенях открытия затвора и результаты сопоставлены с соответствующими экспериментальными данными, полученными Γ . В. Эндером в лаборатории ЛИНВТ (рис. 2). Сопоставление показало большое отклонение величин χ' , вычисленных по форму-

ле (4), от экспериментальных данных, в сторону превышения. Наблюдались также большие отклонения от экспериментальных величии, вычисленных по формуле (5). При малых открытиях за вора—в сторону занижения, и при больших в сторону завышения. Сопоставление

В работе [11] имеется опечатка, в формуле (13) взамен 1.35 должно быть 1.48. ** Подробности см. в 111].

значении $\chi' \frac{n_2}{2p}$ вычисленных по (6), с экспериментальными данными дали удовдетворительные результаты.

Для определения давления в сжатом сечении p_c , в случае водовода представленного на рис. 1 имеем[11]:



Pitc. 2.

$$p_{c} = p_{0} + \gamma \left(z_{B} - z_{e} \right) + \frac{\zeta_{B} - 1 - 2^{\alpha} V_{\alpha c - 2}^{p}}{\zeta_{B} + \zeta_{B} + \zeta_{B}} \gamma H. \tag{7}$$

Кроме того имеем

$$\frac{\gamma H}{\zeta_B + \zeta_{an} + z} = \frac{\rho \, v_0^2}{2}. \tag{8}$$

Здесь р - атмосферное давление;

 ζ_0 — коэффициент сопротивления части водовода, расположенной выше сечения затвора, отнесенной к скорости v_a v_a : ζ_0 — коэффициент сопротивления части водовода, расположенной инже сечения 2-2, отнесенной к скорости v_a .

В силу (7) и (8) для системы водовода получим

$$\chi_{\epsilon} = \frac{p_{\epsilon m} - p_{\epsilon}}{2} = 1 + 21 \tag{9}$$

где

$$p_{cm} = p_0 + \gamma (z_0 - - z_c).$$

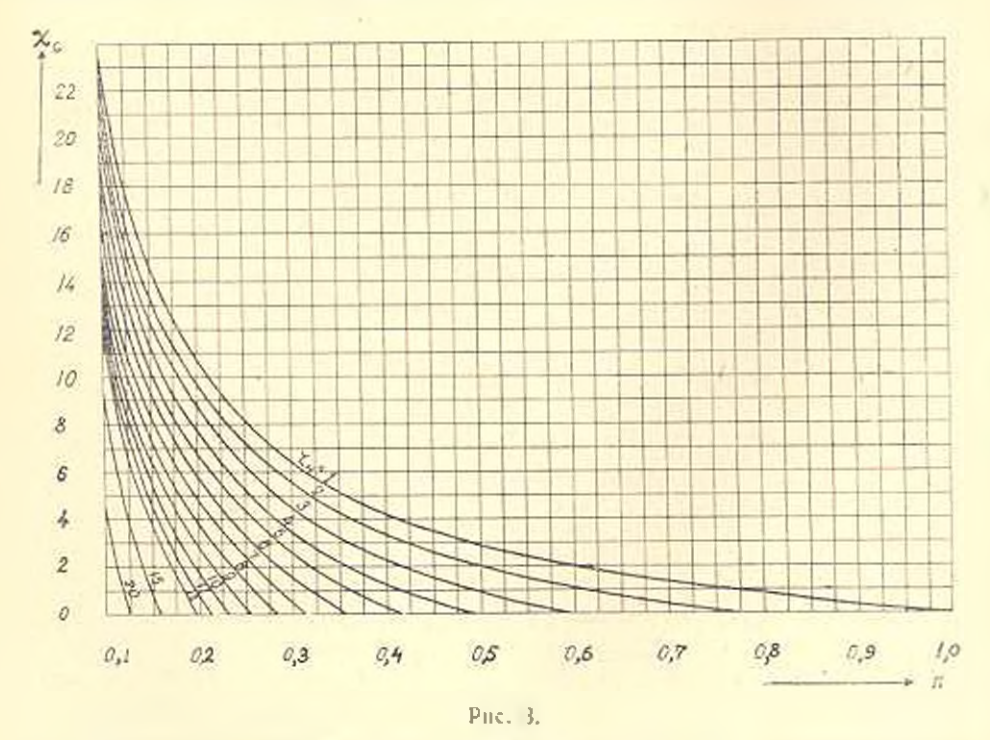
Наступление кавитации определяется условием

$$\chi_{\ell} = \frac{p_{\ell m} - p_{d}}{\rho \, v_{0 \max}} = 1 \pm 2 \, V \, \bar{\zeta}_{\ell-2} - \dots \tag{10}$$

Второй член в правой части формулы (10) зависит лишь от стецени открытия затвора.

Имея значения числа кавитации χ_c , по формуле (10) можно определить критическую скорость $v_{0^{\max}}$, при которой наступает кавитация.

На рис. З представлены величины $\chi_{\rm c}$ в зависимости от степени открытия затвора n для различных $\zeta_{\rm R}$, в случае плоского затвора.



Пользуясь графиком для $\chi_{\epsilon} = f(n, \mathbb{T}_n)$, можно по формуле (10) определить величину v_{0min} , при которой наступает кавитация. Задавая

желяемое значение p_c по формуле (9) можно определить скорость v_o , при которой отсутствует кавитация в сжатом сечения.

Заметим, что на явление кавитации можно влиять изменением давления p_{cm} , которое увеличивается с глубиной погружения галереи под уровнем инжисто бъефа (резервуара). Очевидно, что с увеличением p_{cm} кавитация затрудияется.

В случае, когда для заданной системы трубопровода при данной - степени открытия затвора коэффициент кавитации системы, определенный по зависимости

$$\chi_{c} = \frac{p_{cm} - p_{d}}{\frac{g \cdot \nabla^{2}_{const}}{2}}$$
(11)

меньше, чем величина

$$(1+2\sqrt{\zeta_{c-2}}-\zeta_{0}).$$

внеет место явление развитой кавитации.

Наличие явления кавитации приводит иногда к уменьшению расхо в жидкости в системе, иначе говоря, к кавитационному кризису расхода. Это обстоятельство может привести к нарушению нормального режима работы сооружения.

Из рис. З следует, что в случае, когда поределенный по формуле (11) для заданной n и ζ_n , находится слева от кривой $\chi_c=I$ нмеет место явление развитой кавитации, следовательно, имеет место извитационный кризис расхода. Поскольку с увеличением коэффициент может оказаться справа от кривой $\chi_c=I$ (n, ζ_n), то, очевидно, что на явление кавитации можно влиять увеличением сопротивления в низовом участке водовода после сечения 2- 2 (ζ_n). Заметим, что с увеличением ζ_n , уменьшается и коэффициент расхода системы, что также понижает давление в сжатом сечении.

Ереванский государственный университет

Поступнло 29 X1 1902

է, Գ. ՊԵՏՐՈՍՅԱՆ

ԾԱԽՍԻ ԿԱՎԻՏԱՑԻՈՆ ԿՐԻԶԻՄ

Հայտնի է, որ անսեղժելի հեղուկի հաստատված շարժման ժամանակ ճրնշում - թի թաշխումը հոսքում կախված է արագությունների բաշխումից, իսկ ոչ հաստատված շարժման ստմանակ նա դդալի կերպով կախված է նաև լոկայ արտոսցումների բաշխումից։ Ներբեում մենը դիտում ենը հեղուկի հաստատակած շարժումը գծ. 1-ում բերված ջրատար սիստեմով։

Հողվածում արվում է ջրատար սիստեմի Հնշման տեղական իջեցման չափանիշ Հանդիսացող չ՝ գործակցի որոշումը, ինչպես նաև կավիտացիայի հրևույթի սկիզը առնելու պայմանը։ Այստեղ բերվում է գծագիր, որի օդնու-Ա.TH. 3-5 Ոյամբ կարևլի է առանց հաշվարկի որոշևլ կավիտացիայի առկայությունք արդելակից հետո, սեղմված կտրվածրում։

Կավիտացիայի առկայունյունը մեծացնում է Էներգիայի կորուստները որի հետևանքով փորրանում է հեղուկի ծախսը սիստեմով, այսինըն առաջանում է հեղուկի ծախսի կավիտացիոն կրիդիս (ծախսի խափանում կավիտացիոն արևը ծախսի հետևանում կավիտացիոն արևը ծախսի հետևանում կավիտացիոն արևը ծաևում ունեցող և

ЛИТЕРАТУРА

- 1. Энштейн Л. А., Возникновение и развитие кавитации. Сборник работ ПАГИ, по г гидродинамике, 1959.
- Rayleigh, On the Pressure Developed a Liquid During the Collapse of a Spherical Cavity, Phil. Mag. (6), 34, 91 (1917).
- Boyle R. W., Cavitation in the Propagation of Sound, Trans. Roy. Soc. Canads (3), 16, 157 (1922).
- 4. Boyle R. W., Taylor G. B. Reflecting Powers of Various Materials for Ultrasonal waves, Trans. Soc. Canada (3) 20, 245 (1926).
- Frenzel H. Schultes H., Lumineszenz im ultraschallbeschickten Wasser. ZPS B 21-421 (1935).
- Константинов В. А., Об электрических разрядах при каинтации. ДАН СССЕ, т 56, № 3, 1947.
- 7. Френкель Я. М., Об электрических явлениях, связанных с канитацией, обусловленной ультразвуковыми колебоннями в жидкости. ЖФХ, 14, 1940.
- Натансон Г. Л., О ведичине электрического поля и полостях, образуемых прикаритации жидкости ультразнуком, ДАН СССР, 83, 1948.
- 9. Маккавсев В. М. и Коновалии И. М., Гидравлика. Репиздат, 1940.
- Халтурина Н. В., Условия обтекания плоского затворя и напорной галерое и давление потока на затиор. Жури. "Гидротехническое строительство", № 7, 1954.
- 11. Петросян Л. Г., К вопросу опредедения дапления за преградой в трубах. Тр. ВМАКВ им. А. Н. Крылова, вып. XX, 1959.

ՀԱՅԿԱԿԱՆ ՍՍՌ ԳԻՏՈՒԹՅՈՒՆՆԵՐԻ ԱԿԱԳԵՄԻԱՅԻ ՏԵՂԵԿԱԳԵՐ известия АКАДЕМИИ НАУК АРМЯНСКОЯ ССР

Տեխն, գիտութ, սեբիա

XV, № 5, 1962 Серия технических наук

ГИДРОТЕХНИКА

C. C. ABETHCOB

ТРАЕКТОРИЯ ЛВИЖЕНИЯ КАВИТЫ ПРИ ОТРЫВНОМ ОВТЕКАНИИ*

Анализ абразивных и кавитационных износов определяет область кавитационных разрушений, как застойную зону [1, 10], в которой отсутствуют линин изпосов. Линии износа впереди застойной зоны указывают на наличие отрывного течения жидкости. На рис. 1 показан износ на поверхности верхнего обода рабочего колеса, при выходе потока. Линии износов, которые начинаются перед язвинками на ободе рабочего колеса, у линии стыка лописти с верхним ободом. направлены против течения. Затем перегибаясь, эти линии износои следуют по потоку, составляя как бы гранцчиую линию застойной зоны. Согласно существующему представлению об отрывном обтекании за точкой отрыва, скорость частиц, движущихся в непосредственной близости к контуру тела, направлена против основного потока. Только этим можно объяснить своеобразную кривизну линий износов на поверхности верхнего обода рабочего колеса при выходе потока (psc- 1).

Приводим анализ динамики кавит в облясти отрывного течения исходя из следующих установившихся понятий из теории крыла и работ по кавитации.

При обтеквини лопасти, на которой возникает подъемная сила, жидкость двигается по концентрическим кругам вокруг выходной кромки лопасти, как вокруг вихревой няти [2, 4].

Многочисленные эксперименты, проведенные с целью изучения кавитации [3, 5, 7, 8, 9], уставовили что кавита в области отрицательного градиента скорости стущается и по мере нарастания отрывается от контура лопасти. При обтекании лопасти жидкость должив. двигаться по концентрическим кругам вокруг выходной крамки ловасти, как вокруг вихревой вити. Скорость в поле прямолинейного вихря, напряжение которого равно 🛴 может быть выражена следующей формулой [2, 4]

$$\int dv = \int \Gamma (ds/4\pi r^2) \sin \varphi. \tag{1}$$

[•] В порядке обсуждения.

Единичный учисток вихреной нити, при $\sin \phi = 1$ обуславливает в точке P поля скорость

$$V \overline{v_x^2 + v_y^2} = f/4 \pi a^2 \tag{2}$$

нлн

$$\Gamma = 4 = a^2 \sqrt{v_x^2 + v_y^2}, \qquad (3)$$

где а — расстояние от центра вихря до рассматриваемой гочки.

В нашем случае a — это расстояние от выходной кромки лопасти до канавок, образованных на поверхности лопасти кавитацией [1].



Рис. 1.

Соответственно, сила действующая на участке лопасти с единичной длиной в направлении плоскости решетки, определится так:

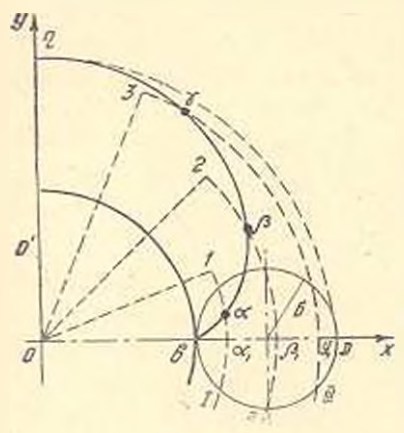
$$P = \frac{1}{g} I V \overline{v_x^2 + v_y} - \frac{\Upsilon}{g} 4 \pi a^2 (v_x^2 + v_y^2). \tag{4}$$

Следовательно, в области кавитационных износов на кавиту, со стороны выходной кромки, будет действовать сила, вызванная цирку-

ляцией лопасти, а со стороны иходной кромки лопасти кавита будет испытывать действие сил основного потока. Эксперименты [3, 5, 7] показывают, что кавита возникает в слое жидкости, непосредственноприлегающей к твердой поверхности т. с. в пограничном слое лопасти. Эли кавиты скапливаются (слущаются) в области отрывного течения. Соглясно теории нограничного слоя, давление в пограничном слое приравнивается статическому давлению, внешнего к граничному слою потока. Таким образом, в области отрывного течения, статическое давление потока будет равно давлению парообразования. Следовательно, кавита, имея внутреннее давление, равное давлению посраничного слоя, находится под действием двух противоположно направленных сил. Одна сила направлена от выходной кромки лопасти, другая со стороны входной кромки. Если бы давление убывало вдоль потока, то поступательное движение каниты продолжалось бы в том же направлении. Но продольная скорость движения в пограничном слое невелика, благодаря замедляющему действию стенки. Энергия и количество движения малы и могут оказаться педостаточными для того, чтобы кавита продолжала двигаться против нарастающего данления. В таком случае кавита остановится. Затем может начаться скопление кавит (сгущение). Только так можно объяснить процесс стущения кавиты и дальнейший отрыв от обтекаемого контура. Силы. вызванные циркуляционным течением вихря, заменяющие выходную кромку, могут служить в начальный момент сгущения кавиты как бы подпорной поверхностью до момента полного стущения кавиты. Так как кавиты выделяются из жидкости непрерывно, и судя по экспериментам [3, 7, 8], они скапливаются в оболочку вблизи выходной кромки, то практически размеры стущенной каниты могут возрастать в широких пределах. Размер же концентрической окружности определяется значением циркуляции лопасти, в данном случае открытием направляющего аппарата. Следовательно, для каждого открытия направляющего аппарата турбины в какой-то момент раднус стущенной кавиты достигнет радичеа концентрической окружности. Когда радиче стущенной кавиты станет равным радиусу концентрической окружности, вследствие равнодействия всех сил, приложенных на кавиту, незначительное изменение внешних сил во внешнем потоке или на концентрической окружности циркуляционного движения вызывает отрыв кавиты от контура лопасти. Естественно полагать, что отрываясь под лействием основного потока, кавита должна катиться без скольжения по линии одинаковых скоростей по потоку, т. е. по концентрической окружности вокруг выходной кромки лопасти без скольжения. Когда кавита катится без скольжения по концентрической окружности циркуляционного движения, вне этой окружности, точка контура кавиты описывает эпициклонду. Обозначим раднус неподвижной окружности через а, производящей - через

Для графического построения эпициклонды, делим полуокружность bD и угол $bo\eta = \pi \delta/\alpha$ на n равных частей, проводим раднусы 1, 2, 3, 4 через точку o, дуги окружности 1 1, 11 2, 111 3 описываем из o; откладывая затем I $\alpha_1 = 1$ α , II $\beta_1 = 2$ β , III $\gamma_1 = 3$ γ получим точки α_1 , β_1 , γ_2 , припадлежащие эпициклоиде.

Согласно обозначениям на рис. 2 имеем:



Piic. 2.

$$x = (a + \delta) \cos \frac{1}{a} t + \delta \cos \frac{1}{a} t.$$

$$(5)$$

$$y = (a + \delta) \sin \frac{\delta}{a} t + \delta \sin \frac{a + \delta}{a} t.$$

где t =угол катания.

По мере нарастания кавиты размер δ будет расти. При нарастании кавиты до величины $\delta = a$ эпициклоида обращается и кордионду описываемую уравнением:

$$(y^2 + x^2 - 2ax)^2 = 4 a^2 (x^2 - y^2).$$
 (6)

В (6), левая часть выражает кинетическую эпергию основного потока,

правля часть—энергию вторичного течения вызванного циркуляцией ловасти. При рассмотрении действия всех сил на кавиту в месте ее сгущения, изменение эпергии можем определить по теореме количества движения, согласно которой

$$\frac{v^{g}}{2g} + \frac{P}{\tau} = 0. \quad (7)$$

Нначе говоря, кипетическая энергия потока в точке отрыва, где происходит слушение кавиты, полностью преобразовывается в статическую. Кавиты, заключенные внутри жидкости, двигаются под действием трех сил: их увлекает поток, тормозят трение у стенки и перепад давления. В точке, где эти силы уравновешиваются, кавита останавливается. В уравнении (7) действие тормозящей силы не учтено. Скорость вблизи точки отрыва весьма мала и она изменяется настолько медлению, что в уравнений пограничного слоя (6) мы можем пренебречь производной постаничного слоя (6) мы можем пренебречь производного слоя (6) мы можем пренебречь прен

Нервый член уравнения (7), определяющий динамическое давление потока, как вектор направлен в сторону движения. Второй член этого уравнения, определяющий статическое давление в текущей жидкости, показывает давление между отдельными линиями тока и направлен перпендикулярно линии тока. Таким образом, в момент отрыва кавиты от контура лопасти на кавиту булут действовать: полное давление, направленное в сторону движения и статическое давление направленное перпендикулярно движения кавиты.

Если по оси у отложить величину полного давления, а по оси х величину статического давления в текущей жидкости, будем иметь

$$y = \frac{v^2}{2g} + \frac{p}{\gamma} + x = \frac{p}{\gamma}.$$

Подставляя значения х и у в уравнение (6), по которой двигается кавита в момент отрыва, получим:

$$\left[\left(\frac{v^2}{2g} \right)^2 + 2 \frac{P}{\gamma} \left(\frac{v^2}{2g} + \frac{P}{\gamma} \right) - 2 \ a \ \frac{P}{\gamma} \right]^2 = 4 \ a^2 \left(\frac{P}{\gamma} \right)^{\frac{n}{2}}. \tag{8}$$

Подставив граничное значение полного давления из уравнения (7) в уравнение (8) получим:

$$\left(\frac{v^2}{2g}\right)^2 = 4 \ a \ \frac{P}{\gamma} \tag{9}$$

гле а — расстояние от выходной кромки до места отрыва кавиты.

Подставляя в уравнение (9) значение $\frac{P}{T}$ из уравнения (4) будет иметь виз

$$\frac{\sigma^2}{2g} = 32 = a^3 \tag{10}$$

Полученная зависимость довольно хорошо подтверждает наличие разных канавок кавитационных разрушений для разных открытий направляющего аппарата. Анализ износа рабочего колеса [1] показывает, что число канавок кавитационных разрушений совпадает с числом открытий направляющего аппарата. Исходя из этого было сделано допущение, что расстояние кавитационных разрушений от выходной кромки лопасти с изменением скорости текущей жидкости, при изменении открытия направляющего аппарати, тоже меняется. Формула (10) дает зависимость скорости движения кавиты, в момент отрыва ее от поверхности лопасти. От расстояния точки отрыва до выходной кромки лопасти. При этом, чем меньше расстояние от места отрыва кавиты до выходной кромки тем меньше скорость, при которой возможен отрыв кавиты от контура.

Застойная зона характеризуется относительно малой скоростью авижения частиц жидкости. Поэтому скорость при которой кавита может отрываться от контура лопасти является важной предпосылкой для возникновения отрывной кавитации. Формула (10) показывает, что отрыв кавиты происходит при сравнятельно малой скорости.

Необходимо отметить, что эта скорость с увеличением расстояния от выходной кромки до точки отрыва, при которой отрывается кавита, возрастает. Это можно объяснить, с одной стороны, нарастанием пограничного слоя с увеличением угла атаки, с другой стороны, ростом циркуляции. Практически отрыв кавиты от выходной кромки будет происходить при незначительной скорости течения. Сле-

довательно, если имеется условие отрыва потока от контура лопастиразрушение поверхности, вызванное отрывом кавиты, будет происходить при самых незначительных скоростях. Поэтому, условие безотрывного обтеквиия жидкости является важным фактором в борьбе с кавитационными разрушениями в гидротурбинах.

Таким образом при наличии отрыва потока от контура лонасти, скорость текущей жилкости, при которой происходит отрыв кавиты, зависит от расстояния отсчитанного от места отрыва потока до выходной кромки лонасти.

Так, папример, для разных значений а будем иметь:

при a = 0.2 м, v = 4 м/сек;

при a = 0.1 .н. v = 1.41 м/сек:

при a = 0.02 м, v = 0.13 м/сек.

Таким образом отрыв кавиты при отрывном обтекании лопасти будет происходить при весьма незначительной скорости. Это значит что выходная кромка турбины будет интенсивно разрушаться при всех режимах ее эксплуатации.

Если теперь в уравнении (9) подставить значение $\frac{1}{2g}$ из уравнения (4) получим следующее выражение для определения разности статистического давления в движущейся жидкости и давления в области отрыва:

$$\frac{p}{7} - 64 = a^5$$

откуда

$$P = 64 \ a^{\circ}$$

Здесь Р выражено в кг/см-, а в метрах.

Так например при a = 0,2 м. P = 0,02 кг см. Следовательно кавита отрывается при незначительной разности сил давления. Сила необходимая для отрыва кавиты от контура лопасти зависит от расстояния от выходной кромки до точки отрыва. Чем дальше точка отрыва кавиты от выходной кромки, тем большая разность давления нужна для отрыва кавиты от контура лопасти. Следовательно, наличие отрыва потока от лопасти является предпосылкой для разрушения поверхности лопасти при несьма незначительном статическом давлении на кавиту. Это разрушение может наступить при очень малой скорости течения в застойной зоне, если не обеспечено безотрывное обтекание. Таким образом, наличие отрывного течения создяет условие для кавитационного разрушения даже при незначительной скорости течения и статическом давлении в текущей жидкости. Резюмируя изложенное, надо отметить следующее.

Кавитационное разрушение в рабочем колесе гидротурбины является следствием отрыва струй от поверхности проточной части, поэтому состояние этой поверхности играет весьма существенную рольв развитии кавитации. Наличие малейшей неровности на поверхности проточной части рабочего колеса может привести к местному отрыву потока, что и может служить обстоятельством, способствующим возникнопению кавитации. Это обстоятельство предъявляет весьма высокое требование к качеству обработки поверхности каналов рабочего колеса.

Отрывную капитацию можно уменьшить утонением пограничного слоя. Этого можно достигнуть, например, устройством щели в рабочем колесе гидротурбины со стороны повышенного давления.

НИИКС СИХ Армянской ССР

Поступило 9.У.1962:

u. u. nausbunt

ԿԱՎԻՏԱՅԻ ՇԱՐԺՄԱՆ ՀԵՏԱԳԻԾԸ ԸՆԳՀԱՏՎՈՂ ՇՐՋԱՀՈՍՄԱՆ ԳԵՊՔՈՒՄ

Ամփոփում

Հղկանյութային և կավիտացիոն մաշվածըների վերլուծությունից որոշվում է կավիտացիոն բայքայումների տեղամասը՝ որպես կանդառածության դոտի, որտեղ բացակայում են մաշումների դծերը, իսկ այդ կանդառածության դոտու առջևում մշակումների դծերը ցույց են տալիս հեղուկի ընդհատվող հոսքի ներկայությունը։ Մաշվածըների դծերը, որոնը սկսվում են փոսիկներից առաջ բանվորական անիվի անվահեցի վրա՝ թիակի կցվանքի դծի մոտ վերին ան վահեցի նկատմամը, ուղղված են հոստնքին հակառակ։ Դրանցից հետո մաշվածըների դծերը ծովելով հետևում են հոստնքին՝ կազմելով կանդասածության դոտու հոստնքի սահմանագիծ։

Պոկման կնտի նանում, ընդհատվող շրջահոսման մասին դոյություն ունեցող պատկերացումների համաձայն, մասնիկների արադությունների ուղղությունների (որոնք շարժվում են անմիջականորեն մոտիկ մարմնի կոնտուրին) ուղղված են հիմնական հոսքին հակառակ, միայն սրանով կարնիկ է րացատրել մաշվածքների դծերի յուրահատուկ կորությունը բանվորական անիվի վերին անվահերի մակերևույթի վրա։

Տեսական ճանապարհով ստացված բանաձևը ցույց է տալիս որ կավիտայի պոկումը տեղի է ունենում համեմատաբար փոթը արադությամբ։ Սա բատ կարևոր է, բանի որ կանդառածության դոտին, որտեղ կավիտաները հատևում են մինչև պոկումը, բնորոշվում է հեղուկ մասնիկների փոբը արտ դությամբ։ Ստացվել է նաև բանաձև, որի օգնությամբ որոշվում են այն ուժերի մեծությունները, որոնք հարկավոր են կավիտան պոկելու համար։ Ինչպես սպասվան էր, կավիտան պոկվում է ճնչման աննշան տարրերությունից։

ված չէ շրջահոսումը՝ առանց պոկումների, որ իկակի մակերևույքի քայբայումը, որը տեղի է ունենում կավիտայի պոկումից, կարող է առաջ գալ թայումը, որը տեղի և ուսում՝ հոսրի փորր արավուքյան ղևպթում, եկե ապահով-

JIHTEPATYPA

- Авенисов С. С. Износы, как следы анний тока в каналах рабочего колеса гидрогурбины. "Известия АН Армянской ССР». № 5. 1955.
- Вознесенский И. И. Уравнение гидродинамики и конструкция водяных турбии.
 Труды ЛПИ № 2, 1948,
- Daily I. W. Cavitation Characteristics and Infinite-Ration Characteristics of allydrotoil section. Transactions of the ASME M 3, 1949.
- 4. Жуковский П. Е. Избранные произведения т. т. 1, П. 1948.
- Knapp R. T. Cavitation mechanics and its Relation of the Design of Hydrawlic Equipment. The Institution of Mechanical Engineers* Ap. 2, 1952.
- 6. Лойцянский Л. Г. Аэродинамика погранциного слоя- М., 1941.
- Шальнев К. К. Структура и область кавитации. "Известия АН. СССР", № 5. 1954.
- 8. Шальнев К. К. Кавитация щитовых пазов. "Известия АН СССР". № 2. 1962.
- Козирев С. П. Канитация в гидроабразивном потоке и канитационно абразивное изнашивание. ,Известия АН СССР*, № 2. 1962.
- Тер-Акопян Г. Д. Суперкавитирующие гипротурбины. «Известия АН Армянской ССР (сер. Т. Н., т. XIV, № 4–1961.

ՀԱՅԿԱԿԱՆ ՍՍԻ ԳԻՏՈՒԹՅՈՒՆԵԵՐԻ ԱԿԱԳԵՄԻԱՅԻ ՏԵՂԵԿԱԳԻՐ известия академии наук армянской сср

Տեխնիկական գիտուր, սեբիա

XV. № 5. 1962 Серия технических наук

ГИДРОЛОГИЯ

ш. А. ШАХБАЗЯН

К МЕТОДИКЕ ИСПОЛЬЗОВАНИЯ СТОХАСТИЧЕСКОГО МОДЕЛИРОВАНИЯ ГИДРОЛОГИЧЕСКИХ РЯДОВ В ИССЛЕДОВАННИ МНОГОЛЕТНИХ КОЛЕБАНИЙ СТОКА

Наблюдения за режимом стока показывают, что многоводные и маловодные годы наступают по несколько лет подряд, но какая-либо определенная закономерность не прослеживается.

Наряду с этим надо отметить, что сущестнующие приемы статистического исследовання вопроса носят приближенный характер. При этом, поскольку оценивается вероятность ожидаемой водности, но не время наступления этого явления, выводы водохозяйственных расчетов представляются в форме оценки ожидаемой повторяемости маловодных и многоводных периодов без указания календарного срока наступления каждого из них [1]. Тенденция к группированию многон маловодных лет впервые была замечена А. А. Ефимовичем [2], который установил надичие коррелятивной связи между величинами стоков смежных лет. Это обстоятельство позволяет рассматривать речной сток как последовательность конечного числа взаимосвязанных элементарных стохастических явлений. Матемитически, годовые колебання стока могут рассматриваться как простой процесс Маркова с дискретным временем и бесконечным числом состояний, постоянных в пределах каждого промежутка времени и меняющихся скачками ири переходе от одного промежутка к другому [2].

В статье автора на примере р. Арякс рассматривается вопрос использования теоретических рядов в оценке группирования лет различной водности и учета этого обстоительства при установлении репрезентативного периода.

Следуя Г. Г. Сванидзе [4, 5], применившего в гидрологических и водохозяйственных расчетах метол случайных испытаний, или метол Монте-Кардо для построения искусственных теоретических рядов любой продолжительности, для р. Аракс (у с. Каракала) получен ряд годовых расходов продолжительностью 150 лет. Моделирование теоретического гидрологического ряда произведено без учета и с учетом коррелятивных связей между стоками смежных лет. В задаче считается известным закон распределения вероятностей годовых расхолов воды Q, как некоторой случайной величины. В рассматриваемом случае считается известной кривая обеспеченности Q, построенная по методу Фостера-Рыбкина. Далее, из таблицы случайных чисел Дж. Вильямся в определенной закономерности (кроме первичного числа, которое берется проязвольно) выписываются числя, принимлемые за обеспеченности в 0, [5]. По обеспеченностям, взятым по оси абсинсе. определяются соответствующие значения ординат кривой обеспеченности, построенной для исходного ряда. Таким образом из 150 модульных коэффициентов после умножения их на порму стока (Q=- 87,0° ж сек) получается новый 150-летиий ряд расходов, для когорого определяются вналогичные параметры и строится кривая обеспеченности. Полученные для этого ряда значения параметров: Q 87,7 м²/сек, C = 0.25, достаточно близки к соответствующим значениям исходного ряда, продолжительность которого вместе с восстяновленными по кривой связи с р. Ахурян годами, составляет 32 года. Для р. Аракс, сток которой рассмотрен в естественном состояния с учетом отъемов воды выше с. Каракала, Q=87 м⁴сек, C:=0.22. Наблюденные и расчетные данные представлены в табл. 1. Кривые обеспеченности, построенные для теоретического и наблюденного рядов, хорошо сонпадают между собой, и это совпедение будет тем лучше, чем надежнее таблица случайных чисел и чем длиниее теоретический ряд (рис. 1).

Учет корреляции смежных лет производится с помощью пере-

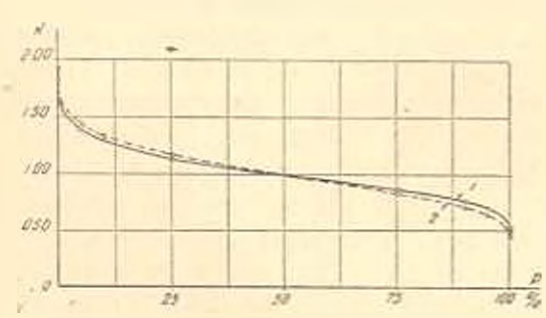


Рис. 1. Кривые обеспеченности наблюденного (1) и моделированного (2) рядов р. Аракса у с. Каракала.

ходной функции, которая выражает условную вероятность определения K_{t-1} при известном значении K_t . Для сравиения теоретического ряда, построенного с учетом корреляции смежных лет, с наблюденным был определен коэффициент корреляции теоретического ряда, который оказался равным 0.23 (у теоретического ряда, построенного беа учета корреляции, r = 0.074,

см. табл. 1). Другие параметры этого ряда имеют следующие значения: \ddot{Q} =87 м³ сек C_{i} =0.23, $\dot{K}_{i,p}$ =1.0 (табл. 1).

Как видно из таблицы, теоретический гилрологический ряд, построенный по методу случайных испытаний с учетом корреляции смежных лет, по своим парам трам значительно ближе к исходному ряду, чем ряд, построенный без учета корреляции.

При решении ряда водохозяйственных задач оказывается необходимым установить расчетный календарный (репрезентативный) ряд годовых величин стока, который при небольшой продолжительности

Норма стока р. Аракс несколько инже истинной желичина, педедствие от, сутствия данных по лозотаборам, производимым со стороны Турции, начиная с 1955.

достаточно полно и правильно отражает характер многолетних колебаний стока. Репрезентативный ряд выбирается из имеющегося ряда наблюдений, представленного в виде суммарной кривой отклонений от середины годовых модульных коэффициентов [6, 7]. На рис. 2 и 3 показаны интегральные кривые отклонений от середины для наблю-

денного и теоретических рядов с учетом корреляции между смежными годами и без учета ее.

Выбранный пернод можно считать репрезентативным в отношении нормы стока, если среднее значение модульного коэффициента за этот период K_{ep} приближается к 1. Это получается в случае, когда

$$\sum_{l=1}^{l+m-1} (K_l - 1) = 0,$$



Рис. 2. Интегральная кривая отклонений головых модульных коэффициентов о. Аракс у с. Каракала.

где / — тот год в рассматриваемом ряде лет, с которого начинается репрезентативный первод. Графически равенство среднего стока за принятый расчетный первод норме выражается горизонтальной прямой, соединяющей на суммарной кривой отклонений от середины модульных коэффициентов начало и конец данного периода.

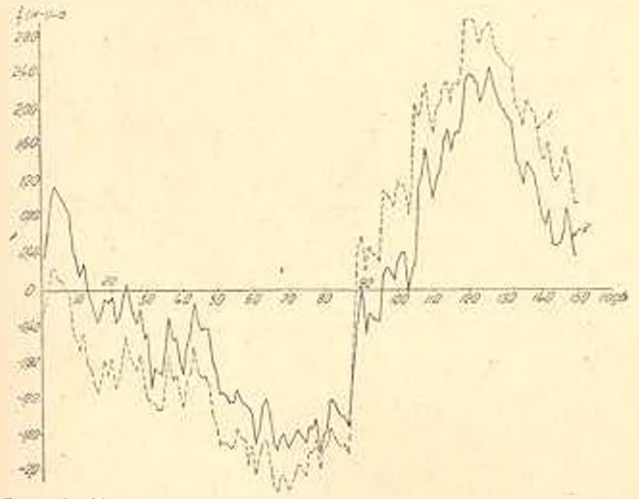


Рис. 3. Интегральные кривые отклонений от середины модульных коэффициентов случайных величин. 1—теоретический ряд без учета коррелянии смежных лет. 2—теоретический ряд с учетом корреляции смежных лет.

В отличие от прежних проработок, когда репрезентативный период выбирался в зависимости от нормы стока, коэффициента вариации и наличия в этом отрезке наихудшего сочетания маловодных

Таблица карактеристик наблюденного, репрезентативного и теорегических рядов р. Аракс у с. Каракала

Гидрологические ряды	Число лет и	Среднее эначение Кер	Q se ² /cesc	Коэффи- циент париа- ции Се	Коэффи- циент кор- реляции
Наблюденный ряд - · · · Репрезентативный ряд · Теоретический ряд без	11	1.0	87,0 89,2	0.22	0.23 0.25
учета корреляции Теоретический ряд с учетом корреляции	150	1,01	87,7 87,0	0,25	0,074

лет [8], в данной работе учитывалась также и корреляция смежных лет.

По построенной для р. Аракс витегральной кривой за 32-летний период наблюдений (рис. 2). был выбран репрезентативный ряд. При этом, исходя из пормы стока и коэффициента вариации, таких рядов оказалось 4 (табл. 2), из которых только один ряд (1941— 1951 гг.) оказался репрезентативным также и в отношении характера колебаний, г. е. содержащим в себе наихудшее сочетание маловодных лет, в данном случае 5-летнее затяжное маловодье. Кроме того, коэффициент корреляции смежных лет для этого ряда оказался достаточно высоким (0.25), что свидетельствует о наличии в выбранном ряду затяжного периода, в данном случае маловодного.

Норма стока и коэффициенты вариации четырех рядов

Таблица 2

Пернод	Q .n3/sek	K_{ep}	F	Cu	71
1929 - 1939 1941 - 1951 1942 - 1955 1946 - 1954	86,6 89,2 88,4 86,4	0,99 1,01 0,99 0,98	0,04 0,25 0,08	0,19 0,20 0,21 0,18	11 11 14

Как видно из табл. 2, у выбранного ряда норма срока несколько выше (89,2 $m^3/(e\kappa)$), чем у наблюденного и прочих репрезентативных рядов, а коэффициент вариации- няже (C = 0,20). Тем не менее по совокупности показателей этот 11-летиий ряд оказался наиболее репрезентативным (рис. 2).

С целью оценки репрезентативности короткого периода по критерию продолжительности малозодий и многоводий, рассмотрены группировки многоводных, маловодных и средних лет различной продолжительности для наблюденного ряда, для указанных двух вариантов
моделированного ряда и для выбранного репрезентативного ряда. На
данной стадии расчета условно за маловодные годы приняты годы с
относительной водностью менее 0,95, за многоводные — болсе 1,05.
По-вилимому, в дальнейшем придется делить годы по группам водности, исходя из обеспеченности и заданного уровия водопотребления.

Рассмотрение продолжительности многоводных периодов и частоты их повторяемости [9] показало, что наиболее продолжительный многоводный период, насчитывающий 6 лет—у наблюденного ряда (табл. 3). У репрезентативного ряда продолжительность многоводыя составляет 4 года, а у моделированных рядов эти же четырехлетки повторяются по 2 раза.

Таблица 3
Распределение групп величии годового стока р. Аракс v с. Каракала

	cubottenenuc	ilylin prama	10,000111	a carea la aslaca	tt j =: mapa	name	
Вантеаь -	Маловодные годы			ине тозы	Средине годы		
ность группы ность	повторяс- мость	в долях от суммы ма- ловолных лет	повторяе- мость говодных лет		иость повторяе.	п долях от суммы сред- пих лет	
		ŀ	Іаблюденный	ряд			
1 2 3 4 5 6	3 1 1 0 1 0	0,23 0,08 0,08 0 0,08 0	-1 1 0 0 0	0,33 0,08 0 0 0 0 0,08	3 1 0 0 0	0,60 0,20 0 0	
		Pe	презентатики	ын рял			
1 2 3 4 5	1 0 0 0	0.17 0 0 0 0,17	1 0 0 1 0	0,20 0 0 0,20	0 0 0 0	0 0 0 0	
	Теорет	ква шихэрн	без учета ко	рреляции сме	жных лет		
1 2 3 4 5	23 6 6 2 1	0,35 0,09 0,09 0,03 0,01	20 7 4 2	0,27 0,13 0,07 0,04 0	20 2 0 1	0,71 0,07 0 0,04 0	
	Теорет	ический ряд	с учетом кој	реаяши сме	тэк хынж		
1 2 3 4 5	18 7 6 1 2	0,28 0,09 0,11 0,02 0,03	13 8 8 2	0,21 0,13 0,13 0,03 0	15 4 0 0	0,65 0,17 0 0	

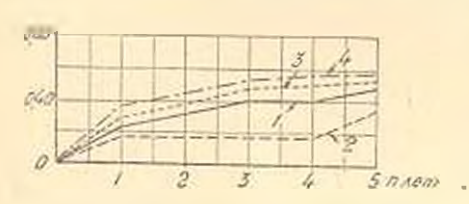
При рассмотрении сочетания маловодных лет оказалось, что у всех рядов наябольшая продолжительность маловодных периодов составляет 5 лет, причем у теоретического ряда с учетом корреляции смежных лет маловодный пятилетний период повторяется 2 раза в то время, как у прочих рядов пятилетние периоды маловодья встречается по 1 разу (табл. 3). Однако, водность пятилетнего маловодья от среднемноголетней величины для каждого ряда различна. А именно, для наблюденного периода водность за пятилетнее маловодье составляет

85% от среднемноголетней величины за этот же период. В принятом 11-летнем периоде модульный коэффициент затяжного маловодья составляет 0,85. Для теоретических рядов с учетом и без учета корреляции между стоками смежных лет водности за пятилетнее маловодье

Таблица (
Интегральное распределение по группам маловодных лет для различных рядов

- Dynna	Наблюде	два јімни	Репрезен ря	1.41 2 23 13 11 104 41	Георетиче бен учет ляц	а корре-	Теоретический ряз с учетом корреля- ции		
Materintocti.	о таряемо-	n Zozna ot Cymbin Mijo- Boznin net	чтовиориемасть.	D GOARN OT CYNMIA MANO- EQUILLY ACT	n T ps voc.	в долях от суммы мало- водных лет	попторяемасть	R ACTRX OF CYMMIS NAMO-	
1 2 3 4 5 6	3 5 8 13	0,23 0,31 0,39 0,39 0:47 0,47	1 1 1 6	0.17 0.17 0.17 0.17 0.17 0.34	23 35 53 61 66	0,35 0,44 0,53 0,56 0,57	18 32 50 54 64	0,28 0,37 0,48 0,50 0,53	

соответственно равны 89° о и 87° о. Таким образом выбранный репрезентативный период имеет некоторый запас (требует несколько большей относительной емкости для зарегулирования маловодья). В табл. 4 и на рис. 4 приводится интегральное распределение по группам ма-



Вис. 4. Интегральные кравые распределения групп маловодных лет. р. Араке —с. Каракала.

ловодных лет для различных рядов. Разность ординат между группами лет показывает, какая часть от всех маловодных лет приходится на маловодье различной продолжитель-

Поскольку для удовлетворения требования водохозяйственного проектирования представляет интерес период маловодья наиболь-

шей продолжительности (в данном случае пятилетие), то, рассмотрев ординаты пятилетки для различных рядов, можно заметить, что для этой группы лет наибольшая часть из всех маловолных лет приходится на 11-летний ряд (0,17), далее идет наблюденный ряд (0,08), а затем следуют теоретические ряды (0,01 и 0,03). Это объясняется тем, что репрезентативный ряд охватывает период, куда входит по одному маловодному (пятилетний) и многоводному циклу и еще 1 маловодный год, в то время как пятилетнее маловодье, встречающееся 2 раза в 32 года и тем более 1 раз в 150 лет, будет составлять значительно меньшую долю в общем числе маловодных лет. Таким образом, построение теоретического ряда методом стохастического моделирования дает возможность проверить, насколько правильно выбран

репрезентативный период и правомерность его использования в водохозяйственных расчетах. В статье изложены предвирительные результаты исследований. Работы в этом направлении автором продолжаются. Автор выражает благодарность В. Г. Андреянову и А. И. Заку за советы, учтенные ею при написании статьи.

t. u. tulengeur

Ամփոփում

Հայկանում փորձ է արված դնահատիլ ջրատար և սակավաջուր տարիների համակցության և հերքադալության հավանականության հղանակը ցանկացած երկաը տևողության շարջի օգնությամբ, որն ստացվում է պատահականությունների անկախ փորձերի մեքոգով (Սոնտե-Կառլոյի մեթեոց)։

Հիդրոլոգիական շարքի մոդնլացումը կատարված է երկու դեպքի համար. կից տարիների հուրերի միջև եղած կապը հաշվի առևելով և առանց դրան։ Այն պարաժետրերը, որոնք ստացվել են տեսական շարքի համար՝ ի նկատի ունենալով կից տարիների կոռելացիայի գործակիցը, ավելի լավ են համընկ նում ուսումնասիրված շարքի համապատասխան պարաժետրերի հետ, քան այն շարքի դարաժետրերը, որի դեպքում կոռելացիան անտեսված է։

Շարբը երկարացնելու հետ ժիասին բնարված է 11-ամյա հաշվարկային ռեպրեզենտատիվ ժամանակաշրջան։ Դա կատարվել է բստ Վ. Գ. Անդրեյա հովի առաջարկած նղանակի՝ տարեկան ժողելային գործակիցների միջին արժեբից շնղումների ինտեդրալ կորի օգնությամբ՝ ելնելով հոսքի նորմայի (Q), վարիացիայի դործակցի (C_v) և կից տարիների կոռելացիայի դործակցի (r) սակավաջուր տարիների ամենավատ զուղորդման դեպթում։

Հոսքի բազմամյա տատանումների հարցի քննարկման համար դիտվել են ջրառատ (K > 1.5 հոսքով տարիներ), ստկավաջուր (K - 0,5 հոսքով տարիներ) և միջին (0,95 - K - 1.05) տարբեր տևողուկյամբ տարիների խմբավորումներ և ստացվել է հավանական գնահատական։ Ստկավաջուր ժամանականարը-չանների ամենաերկար տևողությունը, որը կարևոր նշանակություն ունի ջրա տնտեսային հաշվարկներում, բոլոր շարքերի համար կազմում է 5 տարի։

Այսպիսով, ստոխաստիկ մոդելացման եղանակով կառուցված տեսական շարթը Տնարավորություն է տալիս ստուղել, թե ինչթանով ճիշտ է ընտրված ռնպրեզենտատիվ շարթը և նրա օդտադործման Տնարավորությունները ջրատնտեսական հաշվարկներում։

JIHFEPATYPA

- 1. Крицкий С. Н. в Менкель М. Ф. Гиарологические основы речной гидротехники. М. -Л., Изд-во АН СССР, 1950.
- 2 Ефимович Л. А Вопросы водохозяйственных расчетов в гидрологии. М .-- Л., 1936.
- Крицкий С. Н. и Менкель М. Ф. Расчет многолетнего регуанрования речного стока с учетом коррелятивной связи между стоком гмежных лет. Тр. 111 Всесоюзного гидрологического съезда, т. VI, Гидрометеоиздат, 1959.

- Сванидзе Г. Г. Моделирование теоретического гидрологического ряда методом Монте-Карло. Сообщение АН ГрузССР, т. XXVI. № 5, 1961.
- Сванидае Г. Г. Методика стохастического моделирования гидрологических рядов и искоторые вопросы многолетного регулирования речного стока. Тр. Института эпергетики АН ГрузССР, т. XIV, 1961.
- Андреянов В. Г. Гидрологические расчеты при проектировании малых и средних гидроэлектростациии. Гидрометеоиздат. Л. 1957.
- Андреянов В. Г. Шиклические колебации годоного стока и их учет при гидрологических расчетах. Тр. ГГИ вып. 68, 1959.
- Шахбазач Ш. А. Установление многолетией изменчивости стока пекоторых рек Канказа. Результаты комплексных исследований по Севанской проблеме. т. 1. Изд-во АН АрмССР, Ереван, 1961.
- Шарашкина Н. С. Исследование киканчности годовых ведичии речного стока применительно к задачам гидрозпергетики. Проблемы гидроэпергетики и регулирования речного стока. Изд-во АН СССР, М., 1960.

ХV. № 5. 1962 Серия технических наук

СТРОИТЕЛЬНЫЕ КОНСТРУКЦИИ

Л. В. ШАХСУВАРЯН, Ж. В. ЗАХАРЯН

прочность и леформативность однослойной КЛАДКИ ИЗ ТУФОВЫХ КАМНЕЙ ПРАВИЛЬНОЙ ФОРМЫ

В стятье приведены результаты исследования прочностных и деформационных характеристик однословной кладки из гуфовых камией правильной формы, изготовленной горизонтальным способом, при осевом сжатия.

В опытных образцах были применены туфовые камии правильной формы Маяковского месторождения и карьера близ села Амо Шаумянского района. Была принята следующая гехнология изготовления опытных образцов кладки. Предварительно смоченные водой камии укладывались на горизонтальную гладкую площадку. Для получения постоянной толщины швов 15 мм между рядами камней устанавливалась рейка, которая после укладки камней данного ряда удалялась. После укладки всех камией, с целью предотвращения утечки раствора с четырех сторон образца устанавливались деревянные щиты, высотой равной толщине образца (20 см). Шам заливались литым раствором (погружение стандартного конуса СтройЦНИЛа 13—14 с.и). Через несколько минут после заливки цвов циты удалялись и готовый образец оставлялся для вызревания. Установку образца в вертикальное положение производили в зависимости от марки раствора в возрасте от 3 до 7 дней*.

Вместе с опытимми образцами кладки были изготовлены контрольные образцы раствора в виде кубиков с размерами ребер по 7 см и посьмерки. Контрольные образны раствора и образцы кладки вызренали в одинаковых условиях и испытывались одновременно. Были изготовлены две серии образцов кладки. Испытание первой серии образцов преследовало цель выявить преимущество метода изготовления кладки в горизонтальном положении по сравнению с вертикальным. Поэтому в эту серию испытания были включены также образцы кладки, осуществленной в вертикальном положении с применением пластичного раствора в горизонтальных швах и заливкой вертикаль. вых швов литым раствором. Марка раствора во всех образцах первой

^{*} Опыты показали, что при изготоялении образна в горизонтальном исложении на подлоне его можно подиять и установить вертикально через сутки, в случае применения раствора марки не инже 50.

Первая серня образнов					Вторая серия образцов								
Характеристики образцоя		1 группа		2 группа		3 группа		1 группа		2 группа		3 группа	
		Б—12	Б—13	Б—.8	6-19	620	Б —21	C-1	C-2	C-3	C-4	C-5	C-6
	ан растнора по весу (це- ит: известь: несок)				1:0,85:11 1:0,4:7,5 1			1:0,	1:0,17:4,8				
Консистенция в см)	{осадка копуса		14				з, швах ертикаль-				14		
Прочность раствора кг ем²	олонинтовки	38, 36,				34.6 27,0		32		54 34		80 56	
Примененный камень Туф Маяковского месторождения средней прочностью 150 кг/см ² (67 215 кг/см ²)						Туф к 170 <i>к</i> г	арьера Ш с.к° (143	аумянскої 228 <i>ка е.</i>	ro pañona u¹)	срелиен пр	очностьк		
Размеры поперечного сечемия. с.м Высота образцов с.м		18.5 120 180	18,5 120 180	17,5 121 181	18,5 121 180	18,5 121 181	18.5 116 180	17,5 £9,0 144	18,2 59,0 145	18,5 57,0 143	19.0 57,5 142	17,5 59,0 142	19.0 59.0 142

серии была принята одинаковая. Испытанием второй серии образнов кладки предусматривалось выявить влияние марки раствора на прочностные и деформационные характеристики кладки, изготовленной горизонтальным способом. Эта серия содержала три группы образцов кладки с маркой раствора соответственно 25, еб и 75. В табл. 1 приведены характеристики образцов кладок первой и второй серий.

Методика испытания. Опытные образцы обенх серий были испытаны на центральное сжатие. Образцы первой серии, имеющие относительно большие размеры, были испытаны на силозом стенде АНСМа с помощью 200-тоиного гидравлического домкрата (рис. 1), а образцы второй серии— на 200-тоином гидравлическом прессе. Образцы нагружались ступенями, составляющими 0,1—0,15 от разрушлющей нагрузки. Для стабилизации деформаций и взятия отсчетов по приборам каждая ступень нагрузки выдерживалась 2—3 мин. Нагружение производилось до появления и кладке первых заметных трешии, послечего приборы удалялись и образец доводился до разрушения (рис. 2)

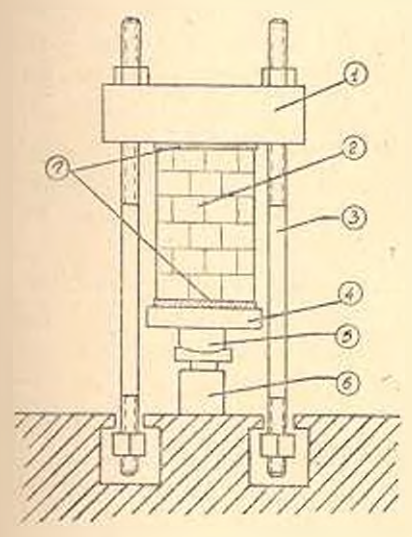


Рис. 1. Схема испытания образна кладки на силопом степле. 1—траперс; 2—образен; 3—стойки; 4—опорная плита; 5—сферический поринр; 6—гидраплический ломкрат; 7—алебастровые подушки.

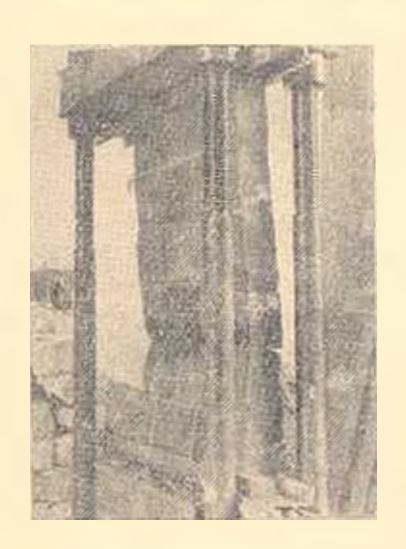


Рис. 2. Образец кладки Б—18 после испытация.

В процессе испытания образцов кладки измерялись продольные леформации с помощью мессур с точностью

0,01 мм, устанавливаемых с двух сторон образца. База измерення деформаций для образцов первой серин—100 см, а второй серин—50 см. Поперечные деформации образцон измерялись в двух местах мессурами с точностью 0,02 мм на базе 15 см. Измерение поперечных деформаций дало сомнительные результаты, поэтому эти данные в статье не приводятся.

Величина предела прочности кладки на сжатие определялась с учетом влияния продольного изгиба, так как отношение высоты об-

разца к меньшей стороне поперечного сечения в опытах составляла 9-10. Предел прочности клалки на сжатие вычислялся по формуле [1]:

$$R = \frac{N}{F} \left(1 + \frac{\beta_{np}^2}{750} \right)$$
 (1)

где R - предел прочности кладки в кг/см-,

Г—площадь поперечного сечения образца в см.

— приведенная гибкость, зависящая от высоты l_0 и a — минимального поперечного размера кладки, а также от упругой характеристики α и определяется следующей формулой

$$\beta_{\rm np} = \frac{l_{\rm o}}{a} \sqrt{\frac{1000}{1000}}$$

Результаты испытаний образцов кладки обеих серий на центральное сжатие представлены в табл. 2.

Прочностные характеристики. Прочность кладки в сильной мере зависит от качества растворных швов, в особенности горизонтальных, неравномерность заполнения которых влечет за собой работу отдельных камией на изгиб и срез, что значительно снижает прочность кладки. Кроме этого сцепление раствора с камием в горизонтальных швах сильно сказывается при работе на сдвиг и изгиб, что имеет существенное значение при сейсмических воздействиях. Привеленным выше требованиям сравнительно лучше отвечает кладка, имполнения в горизонтальном положении.

Многочисленными опытами доказано, что прочность кладки, возведенной из естественных вулканических туфов на лигом растворе, сравнительно выше прочности подобных кладок на растворах пластичной консистенции [2, 3]. В образцах кладки, возведенных в горизонтальном положении, т. с. в случае, когда все швы при изготовлении вте моровтред мытил вотогнилонее и энножолон эональницев тоэми разница сказывается более существенно [4]. В такой кладке контакты камней и швов получаются более прочными, так как литой раствор заполняя шов, находится в одинаковых условиях по отношению к камиям обых смежных рядов в смысле бокового давления, адсорбцви, условий отдачи воды и т. д. В дальнейшем, в процессе вызревания, который, кстати, также проходит в идентичных для обоих контактов условиях, создаются благоприятные условия для получения равнопрочного шва в отношении обоих контактов. Обращаясь к данным табл. 2. замечаем, что для первой и второй группы первой серии образцов, т. е. для образцов изготовленных горизонтальным способом, значения предельной прочности по отношению к образцам, изготовленным в вертикальном положении, выше на 30-55%.

У образцов, изготовленных в горизонтальном положении, помимо повышения пределя прочности, как показывают данные табл. 2, повышается также предел трещинообразования. Эксперименты показывают, что первые заметные грещины появляются в среднем при на-

	Перная серия обр							Вторая серия образцов					
Характеристики образцов		1 группа		2 группа		3 группа		1 группа		2 rpynna		3 rpyona	
		5-12	Б—13	6~18	6—19	Б-20	5-21	C-1	C-2	C-3	C-4	C-5	C-6
Упругая хар	рактеристика ж	2360	2300	1580 •	1530	1 100	1140	570	680	732	654	1023	700
Приведенная (ибкость зар		6.3	6,4	8,3	8,0	8,3	9,1	11	9,7	9,0	9,3	8,1	9,0
Нагрузка при первои трешине N_{TP}/m		73.5	93,1	93,1	98,0	49.0	68,6	65,5	47,8	71,8	56,7	66,4	96,6
Разрушающ	ая пагру≟ка Мраз, т	102,9	100,4	117,6	120,0	68,6	83,3	89,6	74,0	87.0	92,0	82,2	106.7
λ! (λ!	Отдельных поравцов	0,72	0,88	0,79	0.81	0,72	0,82	0,73	0,65	0,82	0,62	0,81	0,91
$N_{\rm mp}/N_{\rm pa}$	Среднее лля группы об- разноп	0,8		0,8		0.77		4 ,69		0,72		0,86	
Плошадь по Геле	перичного сечения	2120	2120	2120	2240	2240	2150	1050	1070	1050	1090	1030	1120
Предел проч- ности кладки R кг.с.и ⁴		50.6	49,3	60.3	58,0	33,2	43,0	99,0	77,8	92,0	93,7	87,0	106,0
	Среднее для группы	50,	0	59,	59,1 38,		.1	88.4		93,0		96,5	
Способ изготовления кладки			Горизонта	аьный		Вертикальный		Горизонтальный					

пряженнях, составляющих 0,8 от разрушающих напряжений, что несколько выше, чем у образцов, изготовленных вертикально. Результаты испытаний второй серни образцов показали, что увеличение прочности раствора повышает предел прочности кладки. Однако, повышение прочности кладки сильно отстает от роста прочности раствора. Так, увеличение прочности раствора примерно в 2,5 раза повысило прочность кладки лишь на 9%, что видно из табл. 3.

Таблица 3

Отновление прочности раствора по группам второй серии	$\frac{R_2(2)}{R_2(1)} = 1.67$	$\frac{R_{+}(3)}{R_{2}(2)}$ 1,48	$\frac{R_z(3)}{R_z(1)} = 2.48$
Отношение пределов проч- ности кладок по группам пторой серии	$\frac{R(2)}{R(1)} = 1.65$	$\frac{R(3)}{R(2)} = 1.04$	$\frac{R(3)}{R(1)} = 1.09$

Учитывая то, что образцы второй серии отличались между собой только маркой раствора, можно придти к выводу, что для однослойной кладки, изготовленной в горизонтальном положении, повышение марки раствора от 25 до 75 несущественно увеличивает предел прочности кладки. Определенный интерес представляет сравнение фактического предела прочности кладок первой и второй серий, полученного непосредственно из опытов, с нормативным пределом прочности. Для каменных кладок нормативный предел прочности рассчитывается по формуле, предложенной Л. И. Онищиком:

$$R^{a} = AR_{1}\left(1 - \frac{a}{b + \frac{R_{2}}{R_{1}}}\right) \qquad (2)$$

где R^n — нормативное сопротивление кладки на сжатие, в κ^n — R_1 , R_2 — соответственно пределы прочности камия и раствора на сжатие, в $\kappa z_1 c_1 c_2 c_2 c_3 c_4$

$$A = \frac{100 + R_1}{100 \ m + n \ R_1}$$

В соответствии [5] $\alpha = 0.15$, b = 0.3, m = 1.1, n = 2.5.

В табл. 4 результаты расчета полученные по формуле (2) со-поставлены с экспериментальными данными авторов.

Из табл. 4 видно, что фактический предел прочности превышает нормативный. У образнов второй серии это повышение составляет в среднем 60%. Некоторую роль здесь, конечно, играет масштабный фактор и форма поперечного сечения. В нашем случае учесть эти факторы по способу, предложенному Л. И. Онициком, не представляется возможным, так как для кладки из камией правильной формы нет принятого эталопного образца [6].

Формула Л. И. Онишика для киринчной кладки вмеет вид:

$$R' = 0.8 R_0 + \frac{2 p}{R} R_0 \tag{3}$$

1				1	Габлица 4	
Образцы кладки	6-12.13	6-18,19	C-3.4	C-5,6		
R1	15	O	170			
R_2	38,0	43,7	32,4	51,3	80,3	
Фактический предел прочности извлен	50,0	59,1	88,4	93,0	96,5	
$R^{\rm u}$ по формуле 127	. 30,1	51,2	\$3,5	58,5	62,0	
$R_{m} + R^{n}$	1,0	1,15	1,65	1,59	1,55	

гле $R_{\rm o}$ прочность кладки этглонного образца сечением 40×40 см. в казема:

R' прочность клапки образна заланных размеров и форм, в ке/ем-;

F площадь поперечного сечения образца, в см;

Р учитываемый периметр (за вычетом сторон входящих углов), в см.

Анализируя формулу (3) можно заметить, что для образиов имеющих удлиненную форму в плане стены, а не столбы), предел прочности получается выше по отношению к образиам кладки с этолонным сечением. Поэтому можно предполагать, что некоторая доля повышения предела прочности образиов кладки второй серии объясняется удлиненной формой поперечного сечения.

Деформационные характеристики. Испытание образцов кладок первой серин на центральное сжатие показало, что при одинаковых напряжениях продольные деформации образцов, изготовленных в горизонтальном положении, меньше деформаций образцов изготовленных в вертикальном положении (рис. 3). Это положение сохраняется, но в

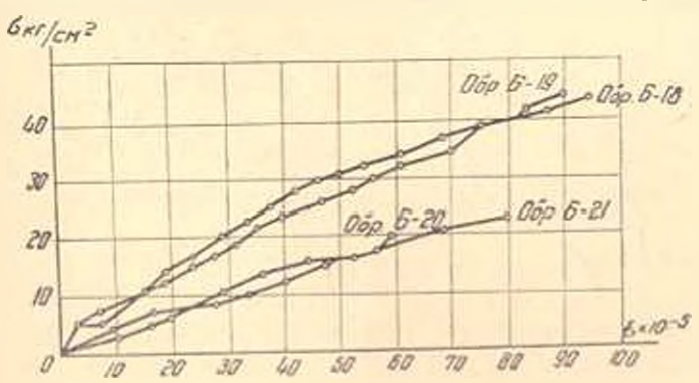
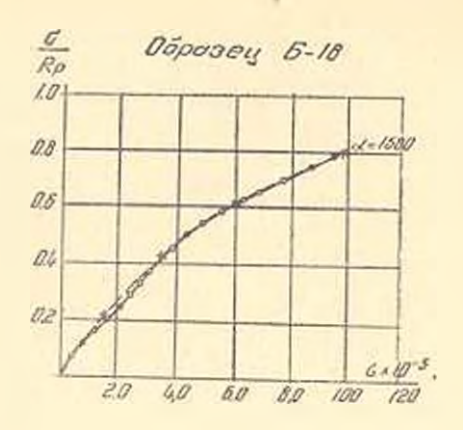
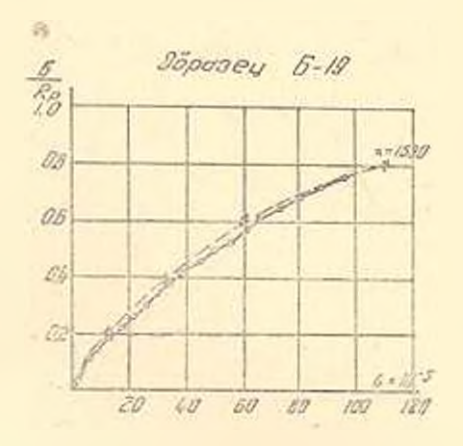


Рис. 3. Продольные отвосительные деформации первой серии образцов Б—18, Б—19, Б—20 и Б—21.

несколько меньшей мере также при сравнении деформации при одина-ковых относительных попряжениях. Так, например, при напряжении





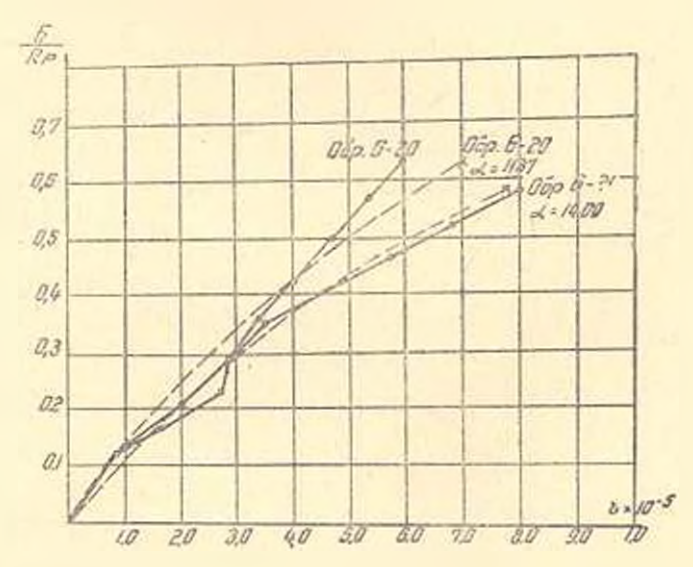


Рис. 4. Кривые зависимости продольных относительных деформаций и относительных наиряжений,

= 0.5 продольные относительные деформации образцов Б 18.

5-19 $\epsilon_{\rm np}=44\times10^{-3}$, а образцов 5-20, 5-21 $\epsilon_{\rm np}=54\times10^{-5}$ (рис. 4).

На рис. 4 штрчх лишей представлены относительные продольны деформации образцов второй серии. При построении этих крявых была использована изпестноя формула

$$\varepsilon = -\frac{R'}{E_0} \ln\left(1 - \frac{s}{R'}\right) = -\frac{R''}{E_0} \ln\left(1 - \frac{s}{R''}\right). \tag{4}$$

Принеденные на рис. 4 кривые для образиов B-18, B-19 свидетельствуют об удовлетворительном совпадении теоретических и экспериментальных данных. Однако использованный в формуле (4) $R' \Rightarrow R''$ нужно считать частных случаем, так как в некоторых других опытах, поставлениях на кладках из туфовых кампей правильной формы, совпадение получается при R'-(1,0+2,5) R''.

На основе результатов испытания образцов второй серии построены кривые зависимости z=z (рис. 5). Эти кривые показывают, что с повышением прочиости кладки се деформативность понижается. Интересно, что в случае когда напряжения в кладке не превышают 4/3 $R_{\rm ps}$ продольные деформации у всех образцов второй серии независимо от марки раствора почти одинаковые. При дальнейшем увеличении папряжений деформации образцов уменьшаются с унеличением предела прочности раствора (рис. 5).

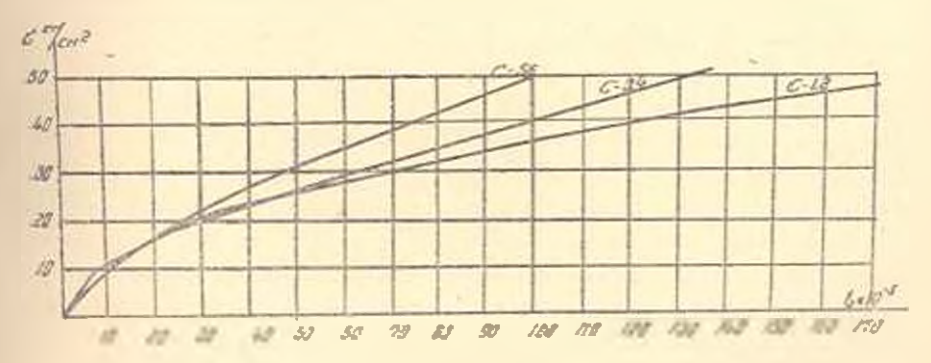


Рис. 5. Продольные относительные деформации второй серии образцов С-1,2: С-3,4: С-5,6.

Произпеденные опыты позволяют сделать следующие выводы.

- 1. Прочностиме ноказатели однослойной кладки из туфовых камней правильной формы, изготовленной горизонтальным способом, имше по сравнению с такой же кладкой, изготовленной в вертикальном положении в среднем на 35—40%.
- 2. Предел прочности кладки, изготовленной горизонтальным способом превышает пормативный на 30—35%. При пределе прочности

камня 150—170 кг/см² и марке раствора 50, предел прочности такой кладки получается не ниже 65 кг/см².

- 3. Повышение марки раствора на одну ступень для марок растворов 25, 50, 75 увеличивает прочность кладки, изготовленной горизонтальным способом на $5^{0}/_{0}$ и уменьшает ее деформативность в среднем на $18^{0}/_{0}$.
- 4. Относительные продольные деформации однослойной кладки, изготовленной горизонтальным способом, по сравнению с такой кладкой, изготовленной вертикальным способом при всех прочих и равных условиях меньше на 25—30%.

Армянский НИИ стройматериалов и сооружений Госстроя Армянской ССР

Поступило 15.11 1962

լ, վ, Շաշտոտլաբցան, Ժ, Վ, զաբաշցան

ԿԱՆՈՆԱՎՈՐ ՉԵՎԻ ՏՈՒՖԱՔԱՐԵՐԻՑ ՄԻԱՏԱԿ ՈՐՄԱԾՔԻ ԱՄՐՈՒԹՅՈՒՆԸ ԵՎ ԳԵՖՈՐՄԱՑԻՐՆ ՀԱՏԿՈՒԹՅՈՒՆԸ

thoppopul

Հորվածում նկարարված է կանոնավոր ձևի տուֆաքարերից հորիզոնական եղանակով իրականացված միատակ որմածքի տեխնոլոգիան, բերված է նրա ամրության և գեֆորմացիոն հատկությունների վերարերյալ փորձերից ստացված տվյալները։ Ցույց է տրված, որ հորիզոնական հղանակով իրականացված տվյալները։ Ցույց է տրված, որ հորիզոնական հղանակով իրականացված նման որմածքի ամրությունը համեմատում ուղղաձիգ հղանակով իրականացված նման որմածքի հետ միջին հաշվով 35—40%-ով ավելի բարձր է։ Հորիզոնական հղանակով իրականացված միատակ տուֆաորմածքի ամրությունը դերազանցում է նորմատիվ տվյալներին 30—35%-ի շափով։ Փորձերը ցույց են տվել։ որ տուֆաթաբի 150—170 կղլոմ ամրության և 50 մարկայի ամրության շաղախի դեպքում հորիզոնական ձևով իրականացված միատակ որմածքի ամրությունը ոսացվում է ոչ պակաս բան 65 կղ/ամ²։ Հորիզոնական որմածքի մեջ օգտագործվող շաղախի մարկայի բարձրացումը մեկ աստիճանով 25, 50 և 75 մարկայի շաղախների դեպքում որմածքի ամրությունը բարձրացնում է 5%-ով, իսկ դեֆորմատիվությունը պակասեցնում է ժիջին հաշվով 18%-ով։

ЛИТЕРАТУРА

- 1. Поляков С. В., Фалевич Б. И. Каменные конструкции. М., 1960.
- 2. Степанян В. А. Нормальное специение раствора с камием. Ереван, 1950.
- Мамиджанян А. М. Об одном способе кладки из пористых блоков. ЛАН Армянской ССР, т. XII, вып. 2, 1950.
- 4. Шахсуварян Л. В. Ноный мето изготовления состаниях крупных блоков. Известия АП Армянской ССР (серпя ТН) нып. 6, т. XI, 1958.
- Нормы и технические условия проектирования каменных и армокаменных конструкний (НиТУ 120-85). М., 1955.
- 6. Исследования по каменным конструкциям, под ред. Л. И. Оницика, М., 1957.

ชิสกธิสสถาม คชิม เคกล

Ինժենեբական սեյսմոլոգիա

l; lr	. 1	հարկան Հերի առժաների նիման	3
		հի բուռական մեռհուսյողիա	
(). I	J.	Մխիթաթյան։ Մետետ լեք ավագահը հատին և հահկույթը տրեանի իրական միքայով հայվման արդյա հրևեր	13
		էլ և կուտ է ն հ - գ և «ի կա	
4,	IJ.	hwymunping. I gwyghpard dardh apagard	33
		Հիդրութե խ նիկու	
η, ε	٦٠,	Պետրոսյան. <i>Մարսի կանաարեր կանա</i>	13
,	0.	Referenced	8.1
		- Introtadim	
ilia	J,.	ըա <u>ը բանավար Էիմևս</u> ևանար	
		ման Հուրջը՝	59
		Շինաբարական կոնստուկցիաներ	
E-	ij,	. Շանսուվարյան, Մ. Վ. Զարարյան հահահավոր ձեր աուֆաբարհրից ժիստակ	63
		nadmorph - des from he ya hapday had a mentanen	67

СОДЕРЖАНИЕ

	Стр.
Инженерная сейсмология	-
tionerepain Centification	
Э. Е. Хачиян. Расчет сооружений на сейсмостойкость по акселерограммам сильных землетрясений (Сообщение 2)	3
Прикладчая метеорология	
А. М. Мхитарян. О брязах в бассейне озера Севан и некоторые результаты их расчета по фактическому распределенню температуры подстидающей поверхности (Сообшение 1	15
Электроэнергетика	
В. С. Хачатрян. Минимизация потерь активной монности в электрических сетях	33
Гидротехника	
Л. Г. Петросян. Кавитационный кризис расхода	43 51
Гидрология	
Ш. А. Шахбазян. К методике использования стохастического моделирования гидрологических рядов в исследования многолетних колебаний стока · ·	59
Строительные конструкции	
Л. В. Шахсуварян. Ж. В. Захарин. Прочность и деформативность однослой- ной кладки из туфовых камией правильной формы	67

